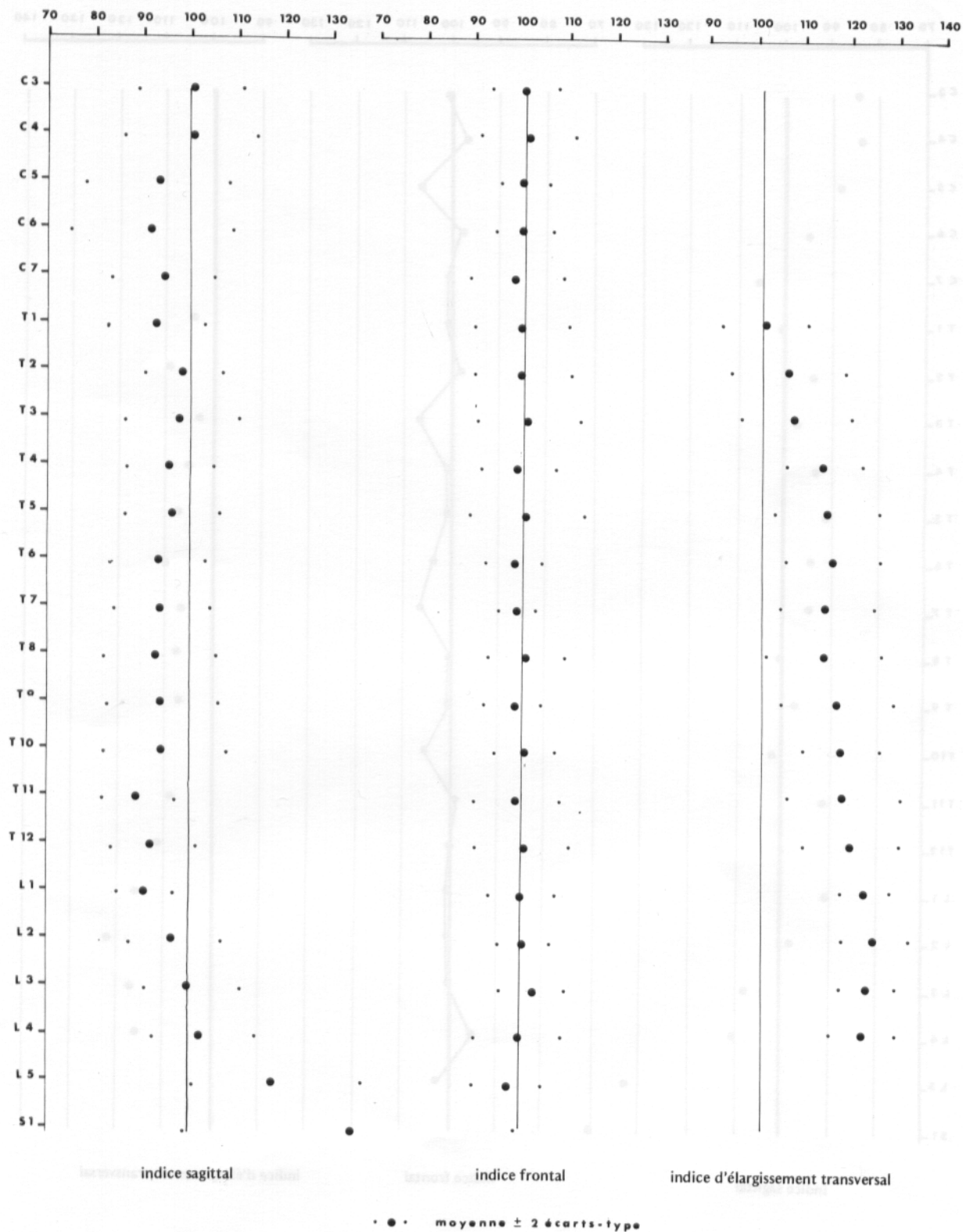
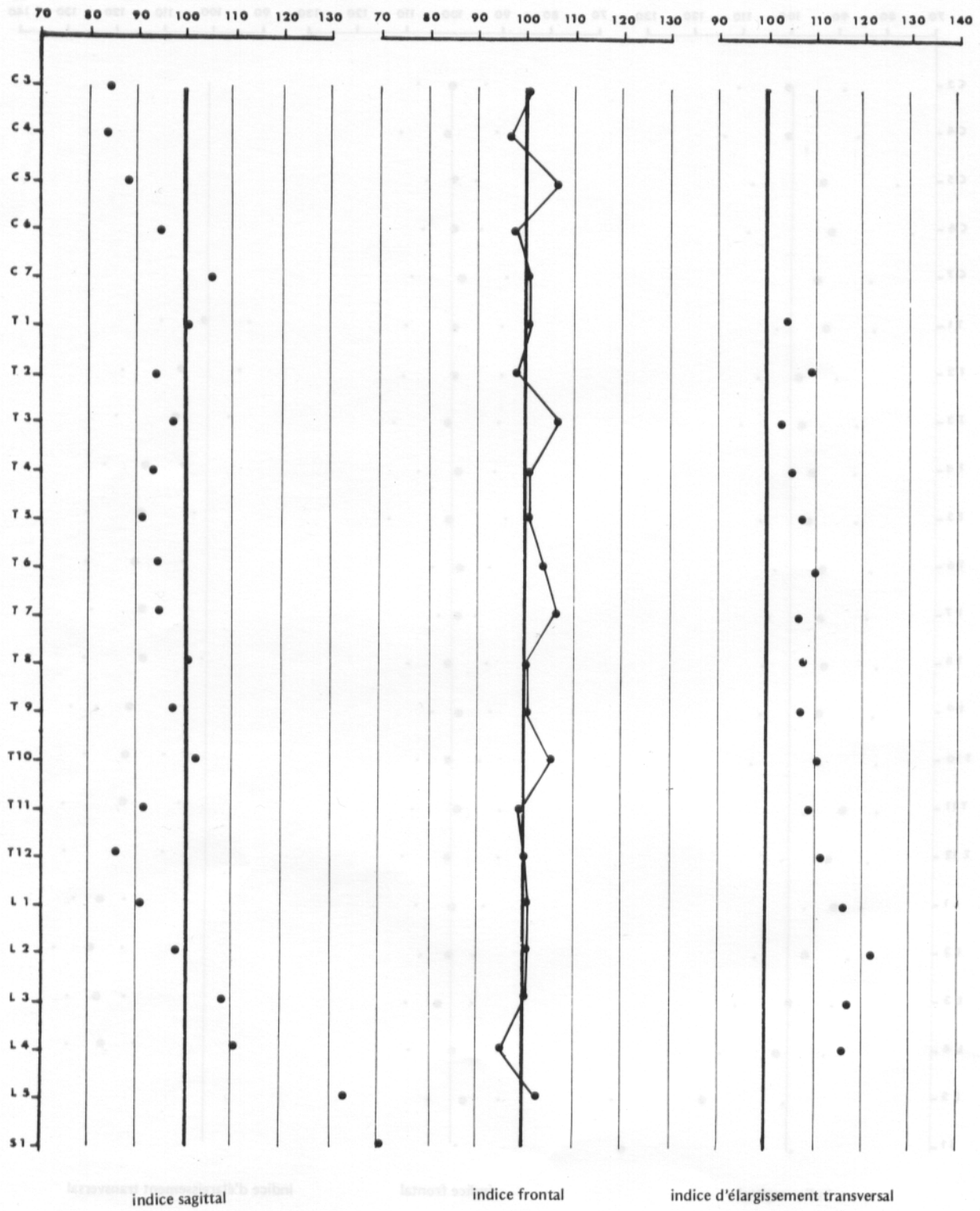


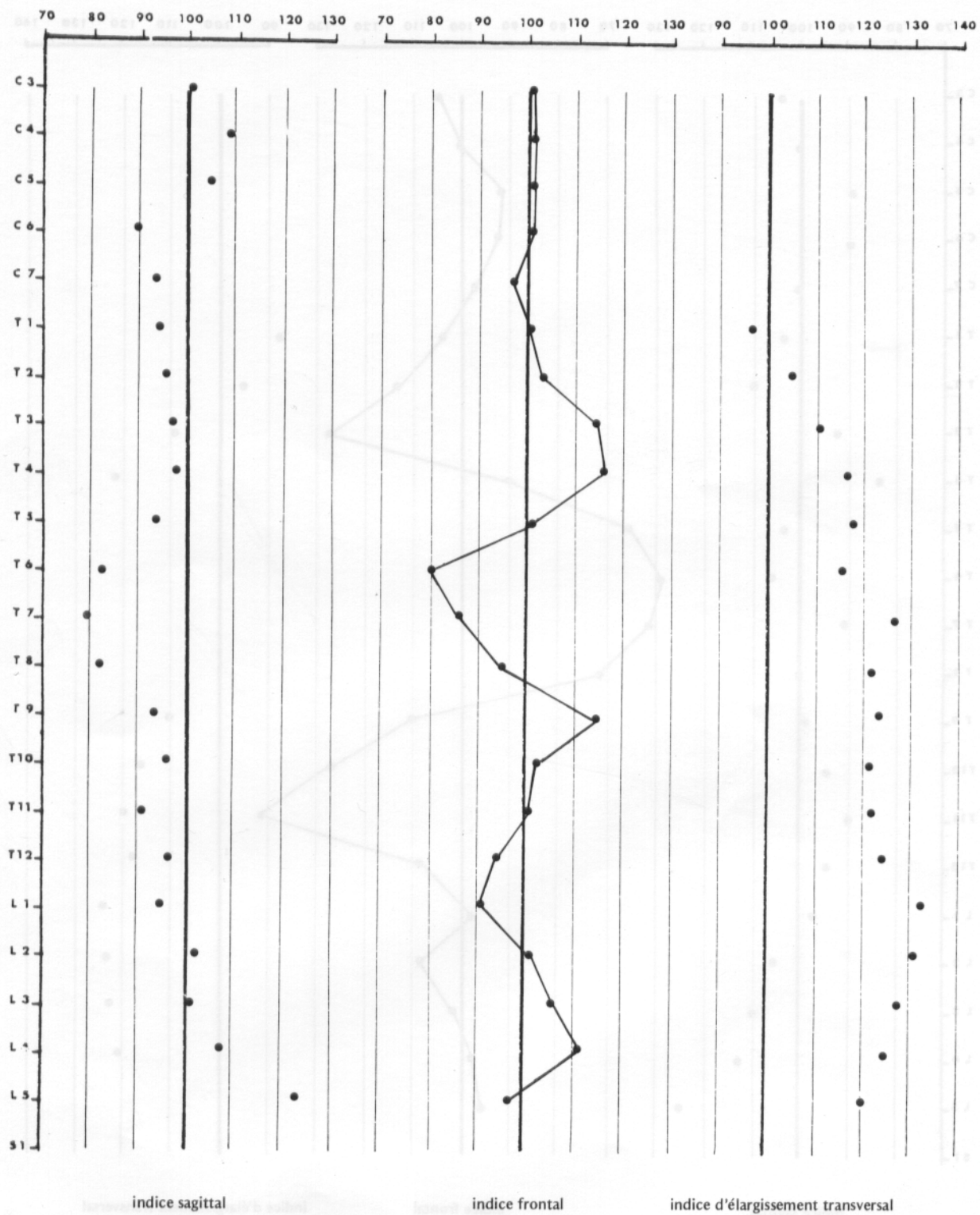
Pl. 34 — Distribution des indices des 27 rachis normaux



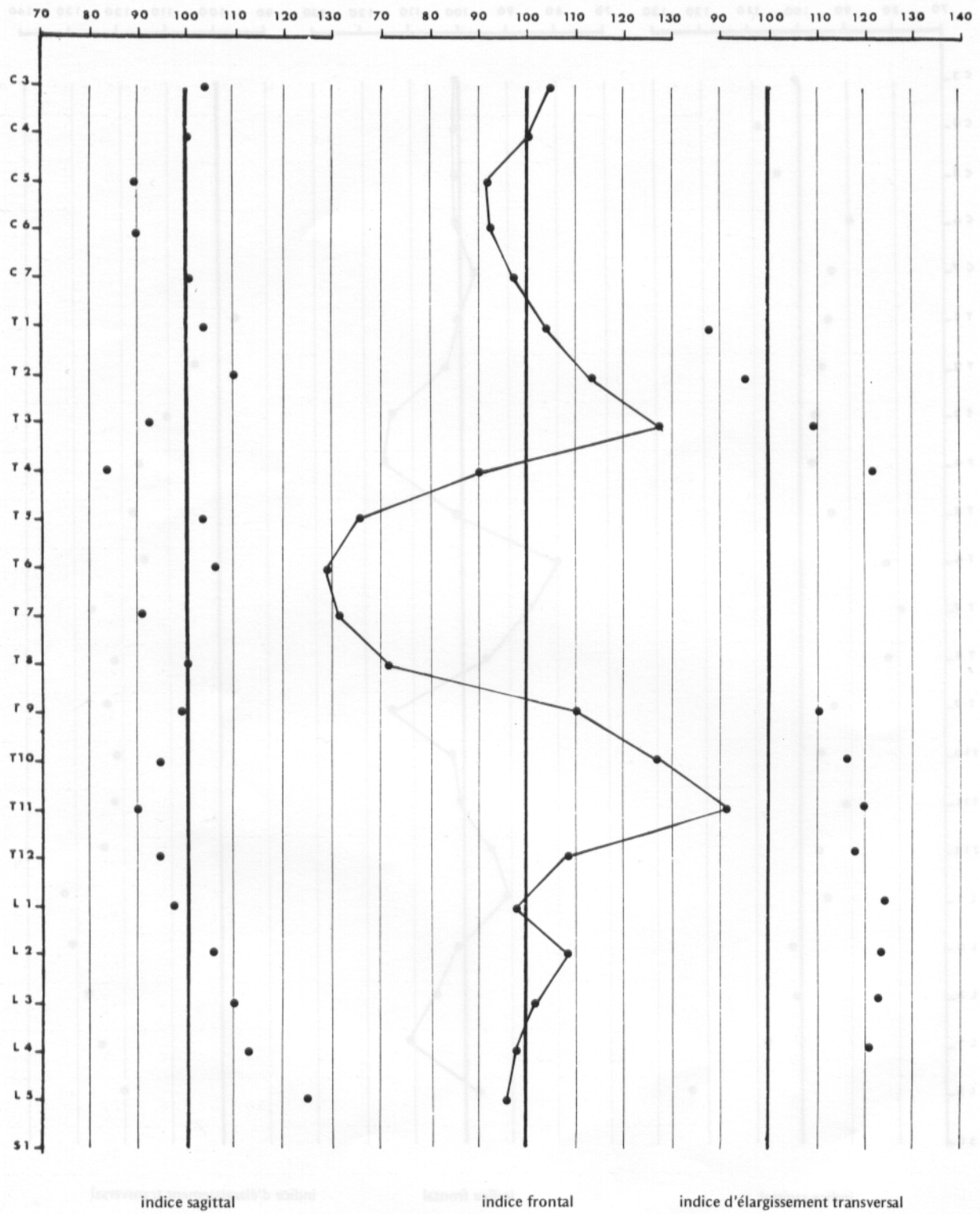
Pl. 35 — Distribution des moyennes des indices des 27 rachis normaux



Pl. 36 – Graphe du rachis, La Gayole BT27



Pl. 37 — Graphe du rachis, La Gayole BT7



Pl. 38 — Graphe du rachis, La Gayole BT10

SITE La Gayole

N° BT 7

Rachis complet

N°	Vert.	H. ant.	H. post.	I. sag.	H. gauche	H. droit	I. front.	∅ T.sup	∅ T.inf	∅ T.med	I. extra.	∅ A.P.sup	∅ A.P.inf
	C2								16				14
	C3	13	13	100	11	11	100	17,5	17,5			14	15
	C4	13	12	108,3	11	11	100	17,5	18			14,5	14,5
	C5	13	12,5	104	12,5	12,5	100	21,5	19,5			14	15
	C6	12	13,5	88,9	13	13	100	22,5	23,5			15	16
	C7	14	15	93,3	14,5	15	96,7	26	27			16,5	16
	T1	17	16	94	16,5	16,5	100	28	29	29,5	96,7	16	17,5
	T2	18	19	95	19	18,5	102,7	27	27,5	26	104,8	17,5	18
	T3	19	19,5	97	20	17,5	114	25,5	26,5	23,5	110,6	20	22
	T4	20	20,5	97,5	21,5	18,5	116	24	28	22,5	116,5	22	23,5
	T5	19,5	21	93	20,5	20,5	100	27,5	30	24,5	117,3	23,5	24,5
	T6	18	22	82	18	20,5	80	29	31	26	115,4	25	26
	T7	16,5	21	78,6	18	21	86	31	33,5	25,5	126,5	27	28
	T8	18	22	82	19	20	95	33	35	28	121,4	29	30
	T9	21	22,5	93	23	20	115	35	38	29,5	123,7	29,5	31
	T10	23	24	96	23,5	23	102	37	39,5	31,5	121,4	30,5	32,5
	T11	23,5	26	90	24	24	100	39	41	33	121,2	31,5	32,5
	T12	25	26	96	24	25,5	94	41	43	34	123,5	31	32
	L1	26	27,5	94,5	26,5	29	91	43,5	47,5	34	132,3	32	31,5
	L2	28	27,5	102	26	26	100	46	48	36	130,6	32	31,5
	L3	29,5	29	101	28	26,5	106	47	50	38	127,6	32	31,5
	L4	29,5	27,5	107	30	27	111	48,5	51	40	124,4	31	33,5
	L5	30,5	25	122	29	30	97	49	49,5	41	120,1	32,5	33
	S1							—				33	

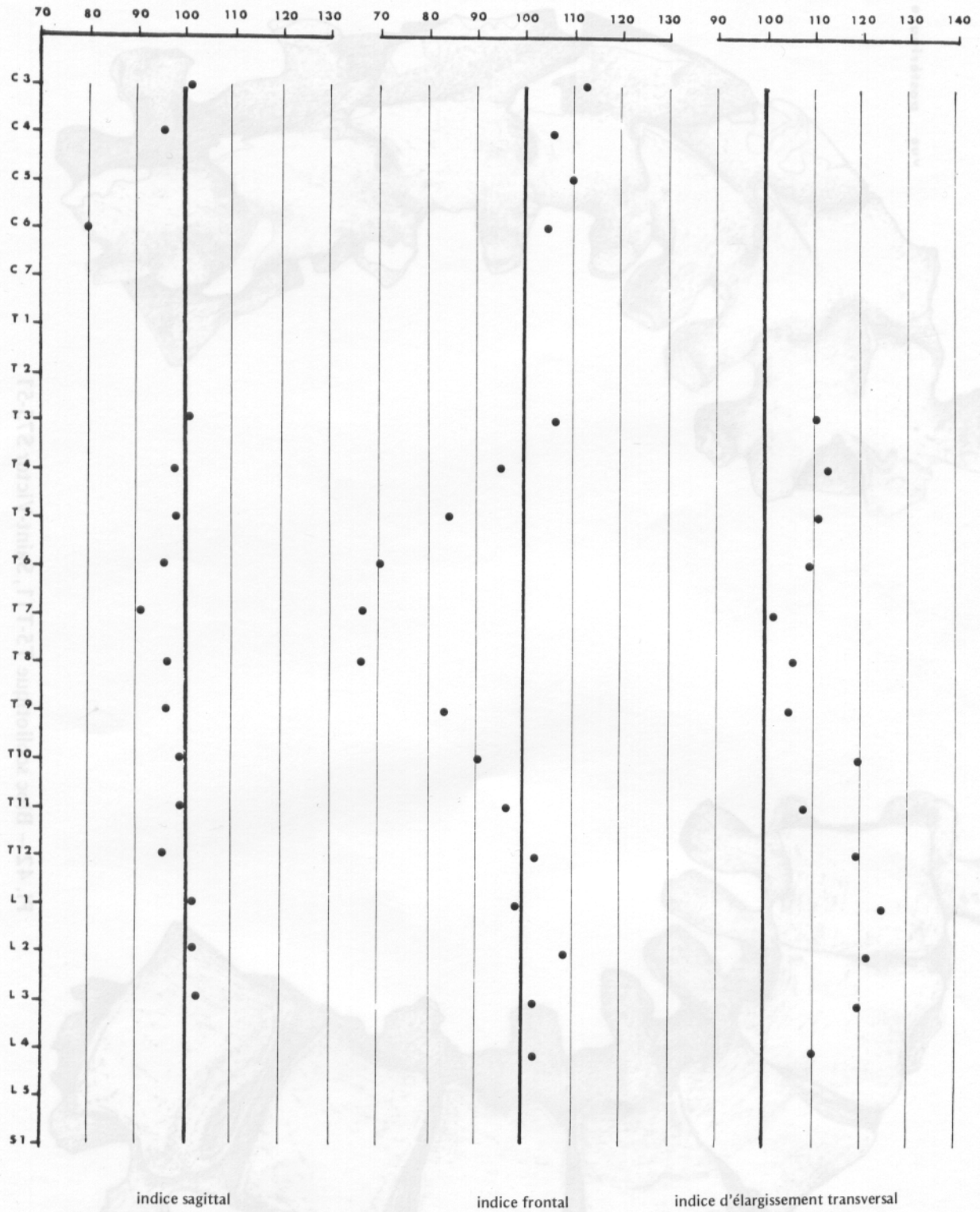
Pl. 39 — Fiche de relevé des mesures des corps vertébraux et des indices

SITE La Gayole

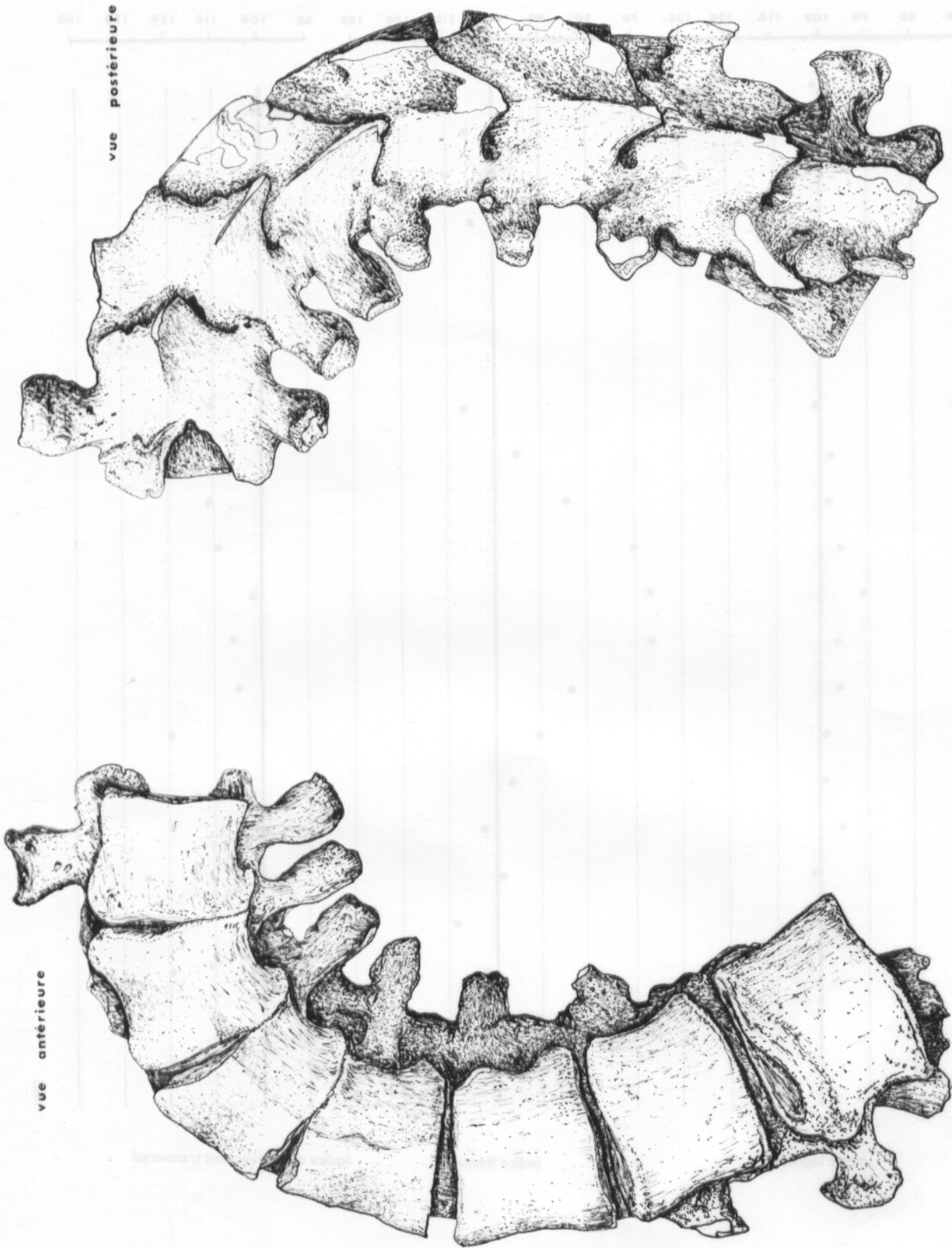
N° BT 7

N°	NIVEAU	DROITE			CORPS				GAUCHE				
		fac.cost. transv.	fac.cost. corps	ap.art.	bord droit	bord ant.	bord gauche	bord post.	Plateau	ap.art.	fac.cost. corps	fac.cost. transv.	
	Occip			+						+			
	C1	s		+						+			
		i		+		+				+			
	C2	s		+		+				+			
		i		++	++	0	++	+	0	++			
	C3	s		+	+	0	+	0	0	++			
		i		++	+	0	+	0	0	+++			
	C4	s		++	+	0	+	0	0	++			
		i		+++	+	0	+	+	0	+++			
	C5	s		+	+	+	0	+	0	+			
		i		+	+	+	+	+	0	++			
	C6	s		+	+	+	+	+	0	+			
		i		+	++	+++	++	++	0	++			
	C7	s		++	++	+++	++	++	0	++			
		i		0	+++	+	0	+	0	++	0		
	T1	s	+	++	+++	0	0	0	+	0	++	+++	-
		i		++	+	0	+	0	++	0	+	+	
	T2	s	++	++	+	-	0	-	0	0	+	+	++
		i		++	+	+	+	+	++	0	++	-	
	T3	s	-	++	-	+	++	+	0	0	-	++	-
		i		++	-	++	++	+	+	0	-	+++	
	T4	s	-	+	-	++	++	+	+	0	-	+++	-
		i		++	-	+	+	+	+	0	-	+++	
	T5	s	-	++	-	0	++	+	+	+	0	-	-
		i		++	++++	+	+	+	+	0	-	+++	
	T6	s	++	++	+	0	-	+++	+	0	+	+++	0
		i		+++	+	+	-	-	+	C+++	+	+++	
	T7	s	+	+	+	+	-	-	+	C-p++	+	++	+
		i		+++	+	+	+++	+	+	C-p+++	+	++	
	T8	s	++	+	+	+	+++	+	+	0	+	+++	++
		i		++	+	+	+	+	0	C-pg++	+	+++	
	T9	s	+	++	++	+++	++	+	+	pg+	+	++	-
		i		+++	+	+	+	+	+	pd-c++	++	+++	
	T10	s	-	+	+	+	0	0	+	g-pd+++	+	++	-
		i		-	+	++	+	+	+	c-pd+++	-		
	T11	s		-	+	+	++	+	0	pg+	+	+	
		i			+++	+	+	+	0	C-p+++	+	+	
	T12	s		-	+++	+	++	+	0	pd+++	+++	+++	
		i			++	+	+	+	+	pd-pg+++	+++	+++	
	L1	s			++	+	+	+	+	pd-c-pg	++++		
		i			+	+	+	+	+	C-pg+++	++		
	L2	s			++	+	+	+	+	C-pg++	++		
		i			++	+	+	+	+	pd-c-pg	++		
	L3	s			+++	+	+	+	+	ε+	++		
		i			+++	+	+	+	+	0	++		
	L4	s			+++	+	++	+	+	g-c-pd	++		
		i			+++	0	0	0	0	C-pg++	++		
	L5	s			++	+	+	+	+	0	++		
		i			++	+	+	+	++	-	+++		
	S1	s			++	+	0	+	++	0	+++		

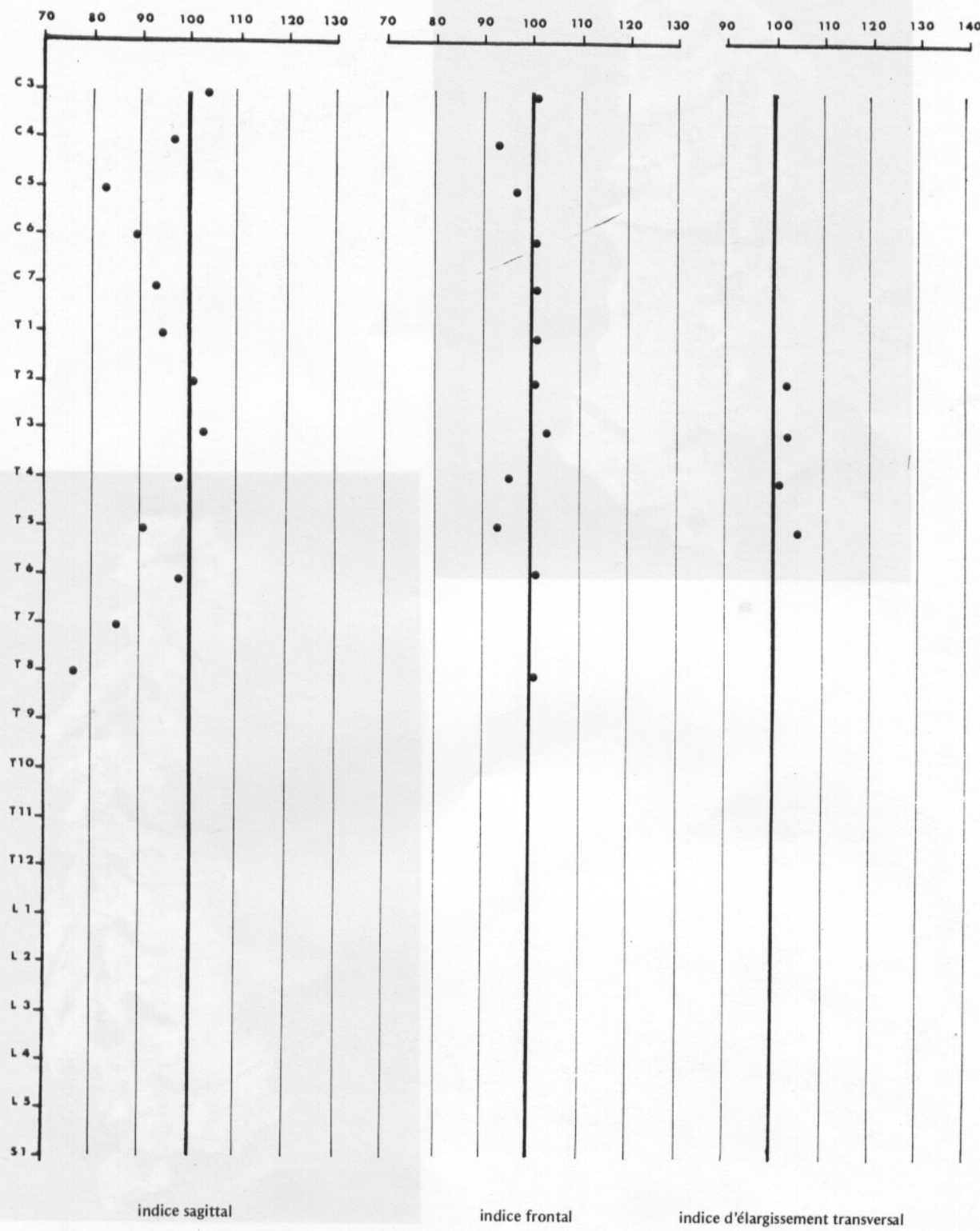
Pl. 40 – Fiche de relevé des caractères descriptifs des corps vertébraux



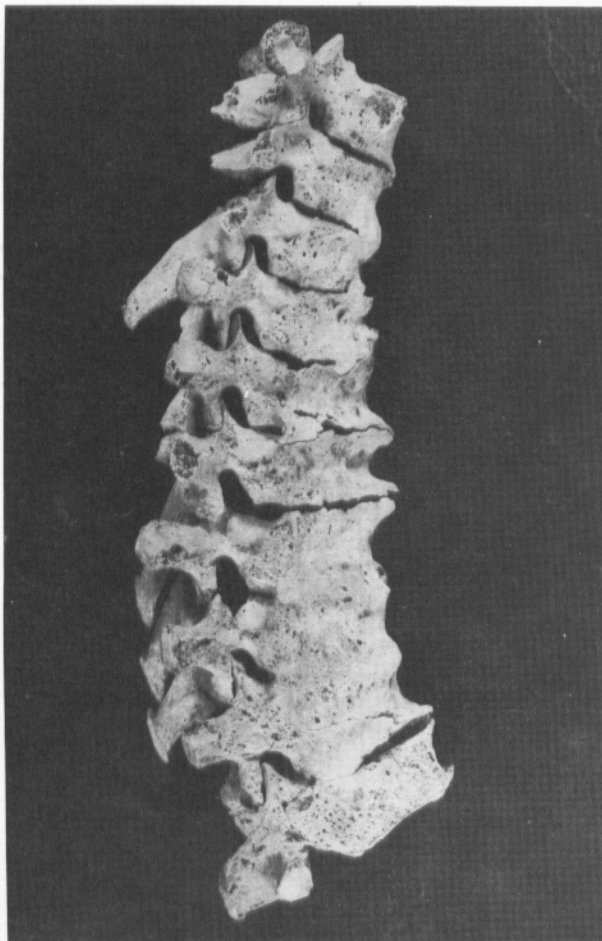
Pl. 41 — Graphe du rachis, Saint-Victor S75-51



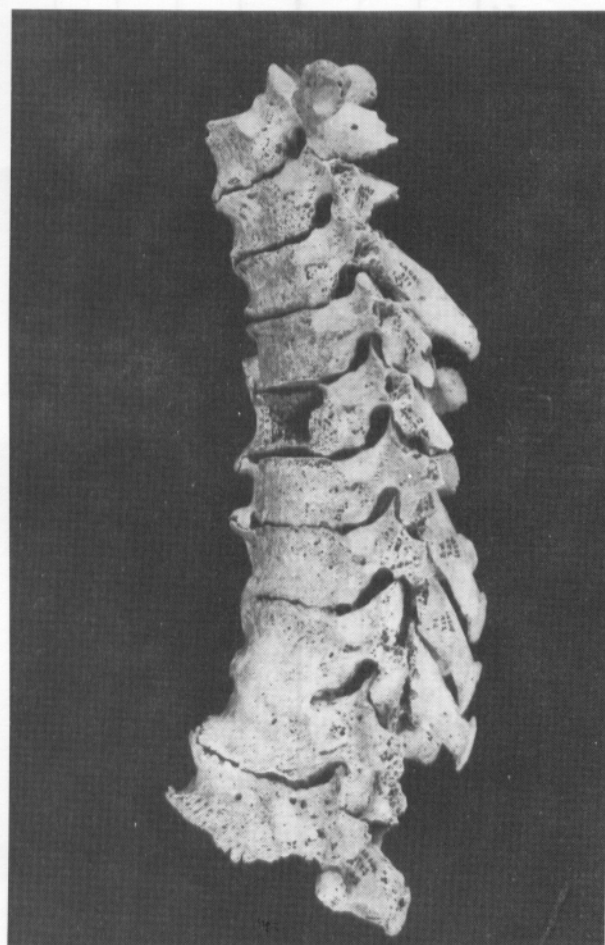
Pl. 42 — Bloc scoliotique T5-T11, Saint-Victor S75-51



PI. 43 – Graphe du rachis, La Gayole RT1

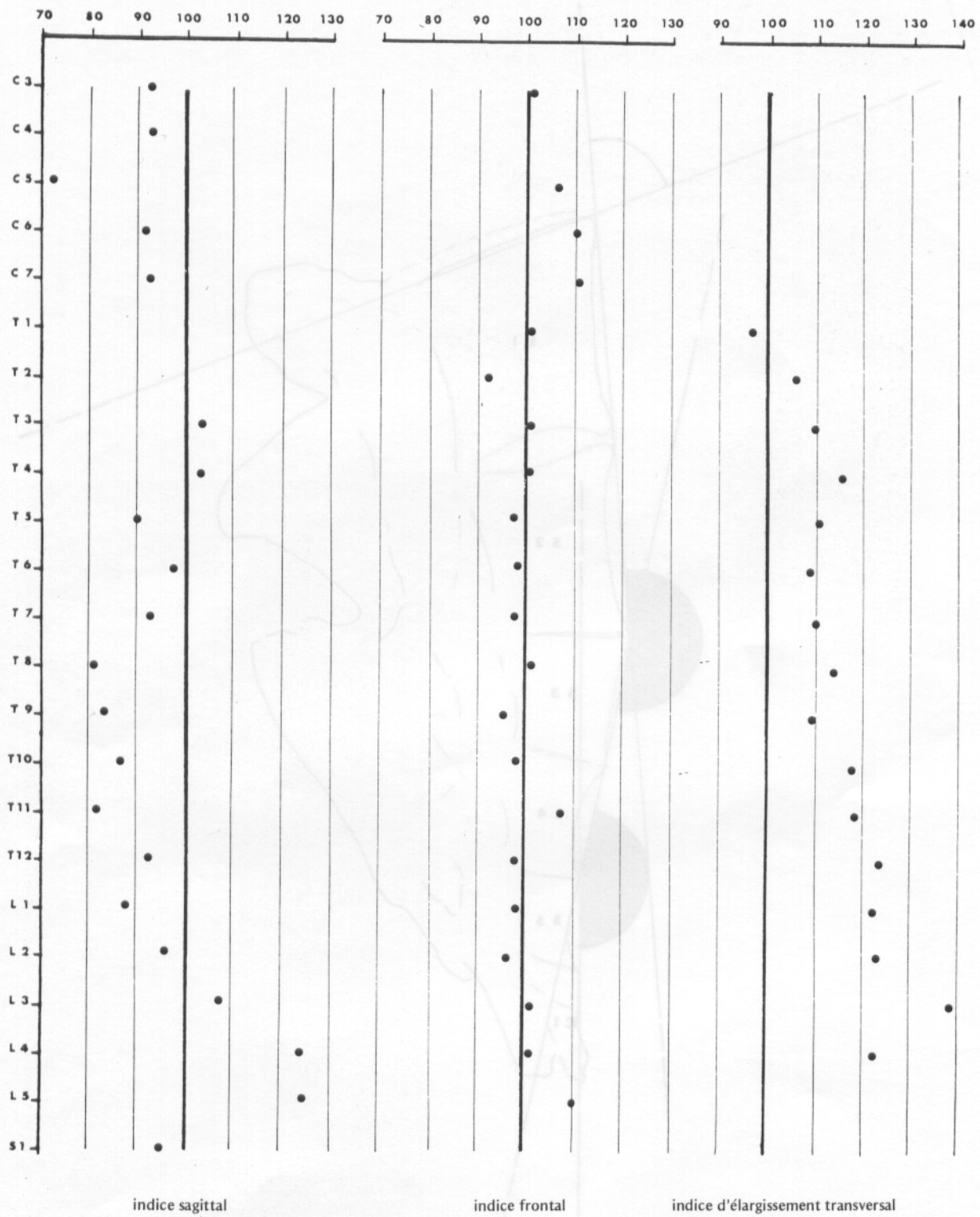


a

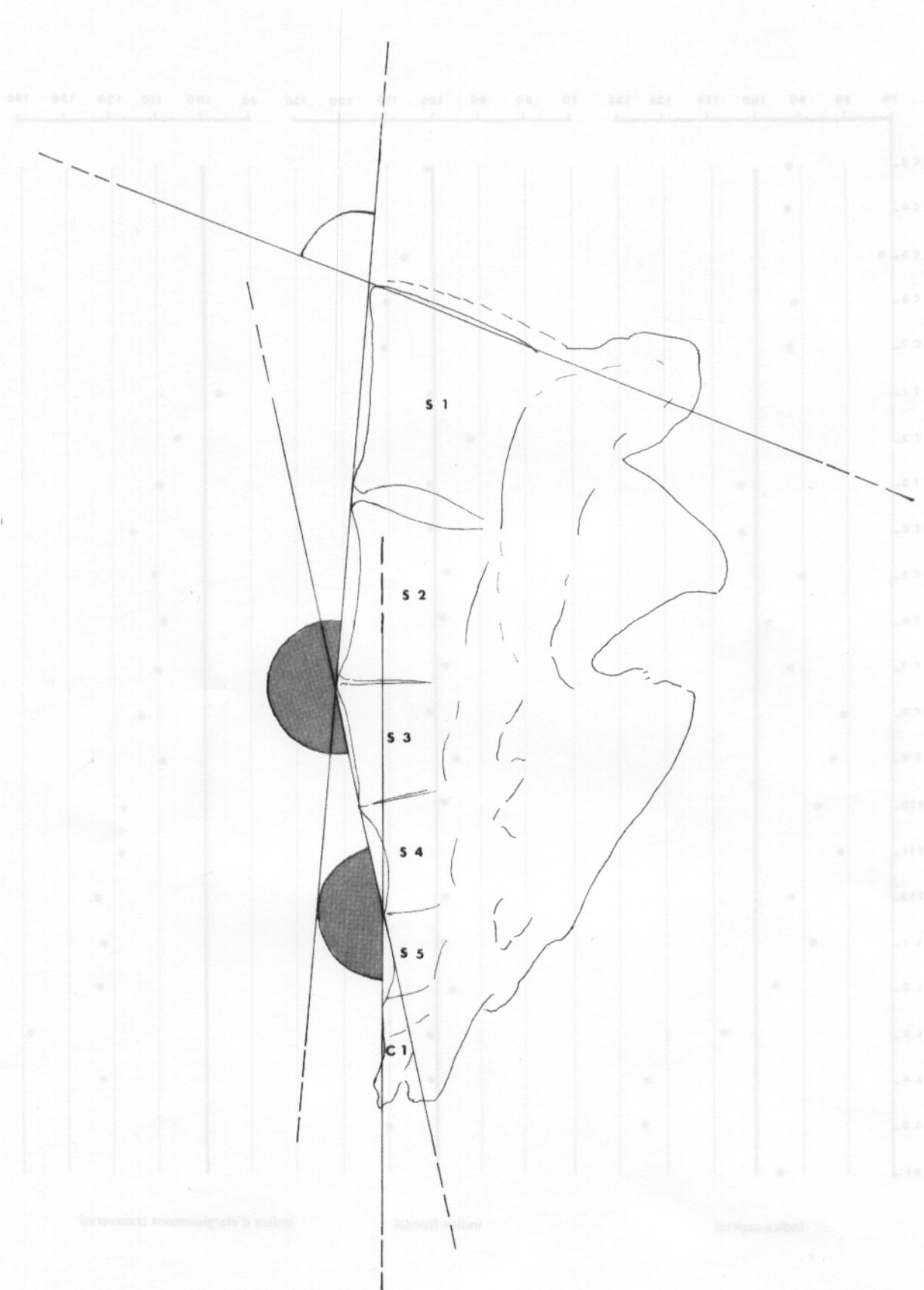


b

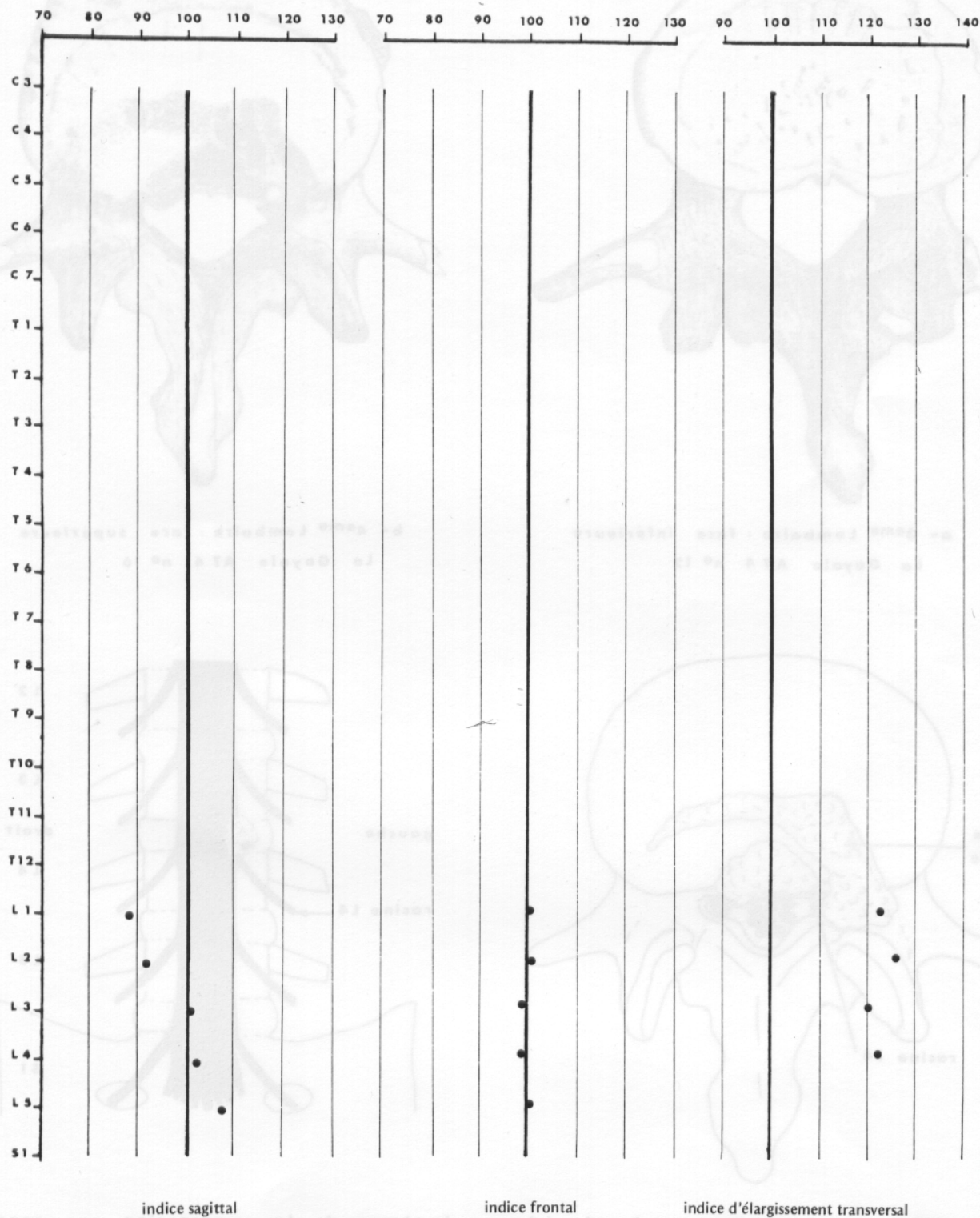
Pl. 44 — Hyperostose vertébrale ankylosante sénile, La Gayole RT1
a) profil droit — b) profil gauche



PI. 45 – Graphe du rachis, La Gayole AT1



Pl. 46 — Angles des corps des vertèbres sacrées d'après la radiographie de profil,
La Gayole AT4 n° 18

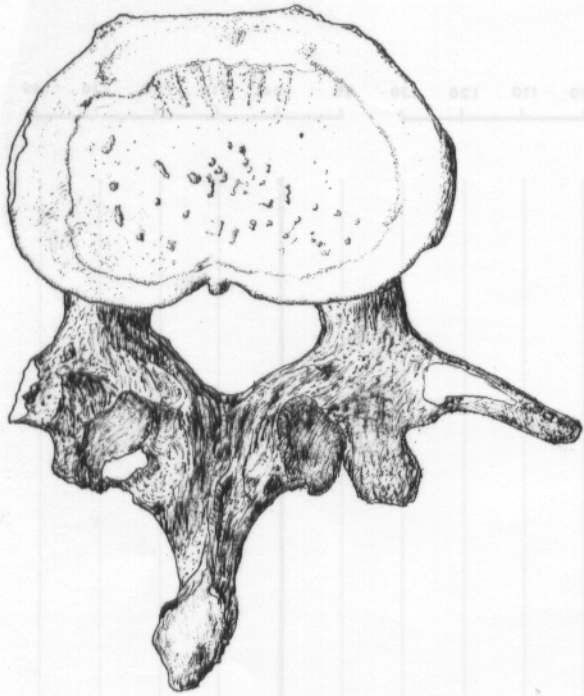


indice sagittal

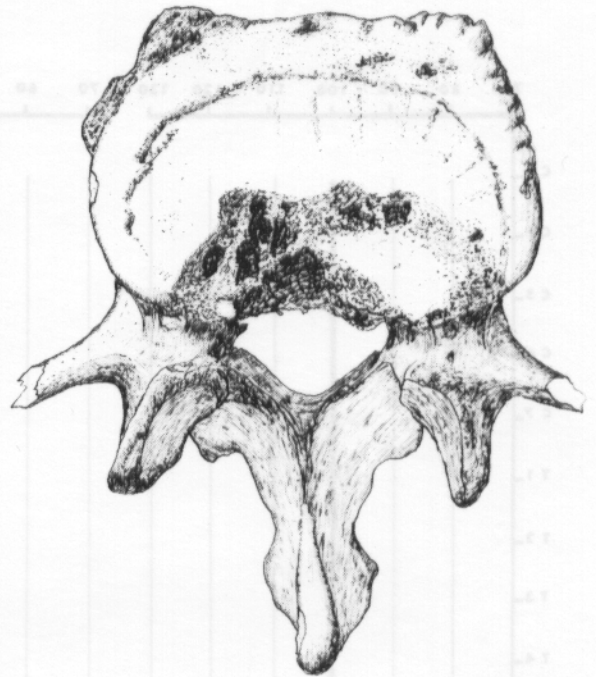
indice frontal

indice d'élargissement transversal

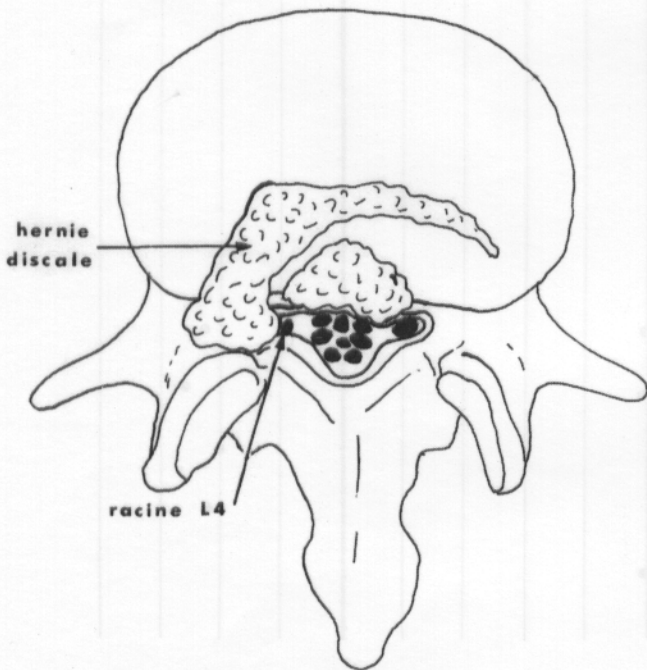
Pl. 47 — Graphe du rachis, La Gayole AT4



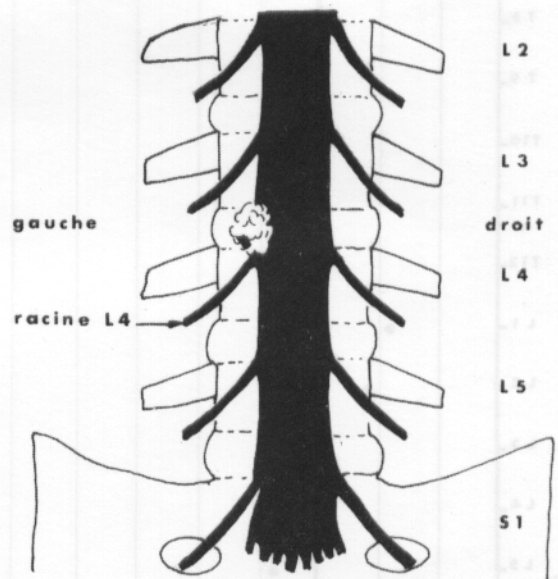
a- 3^{ème} Lombaire : face inférieure
La Gayole AT4 n° 12



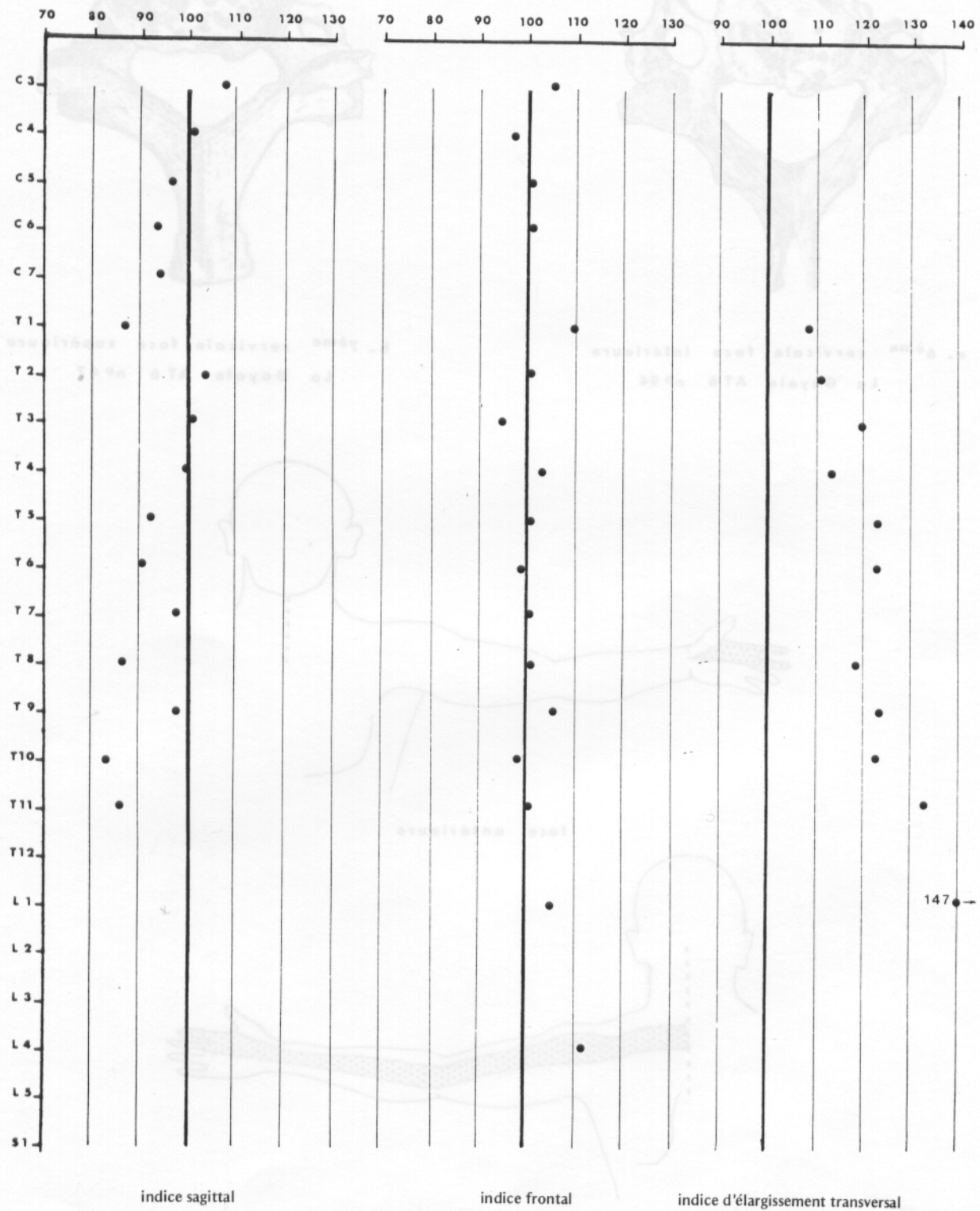
b- 4^{ème} Lombaire : face supérieure
La Gayole AT4 n° 16



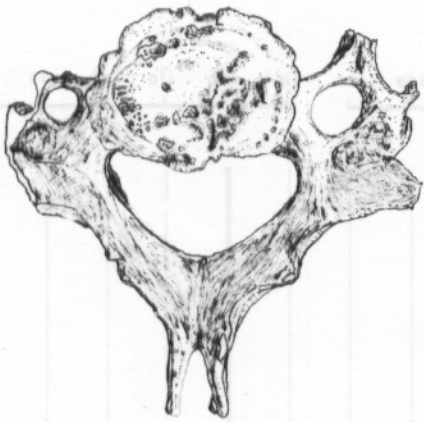
c- compression de la racine gauche de L4 dans l'espace interdisco-apophysaire L3-L4 par la protrusion discale



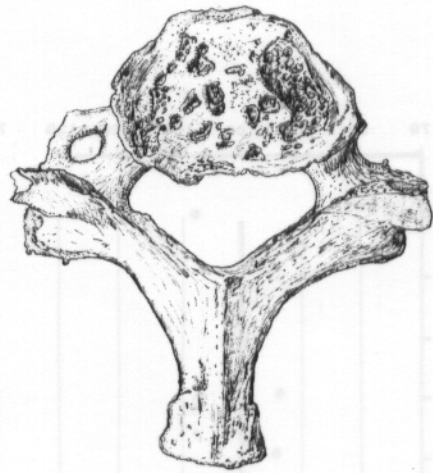
d- niveau de la compression par rapport à l'émergence de la racine L4



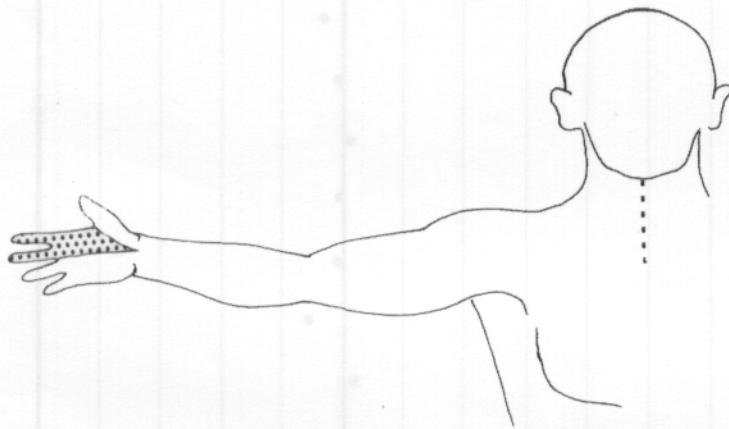
PI. 49 — Graphe du rachis, La Gayole AT6



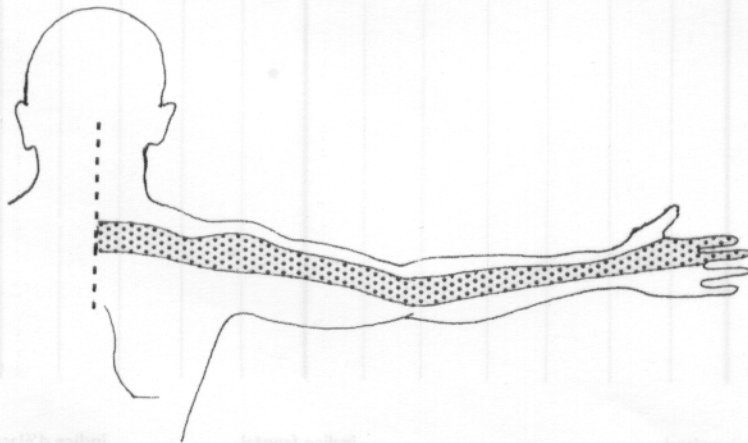
a. 6^{ème} cervicale : face inférieure
La Gayole AT6 n°94



b. 7^{ème} cervicale : face supérieure
La Gayole AT6 n°47



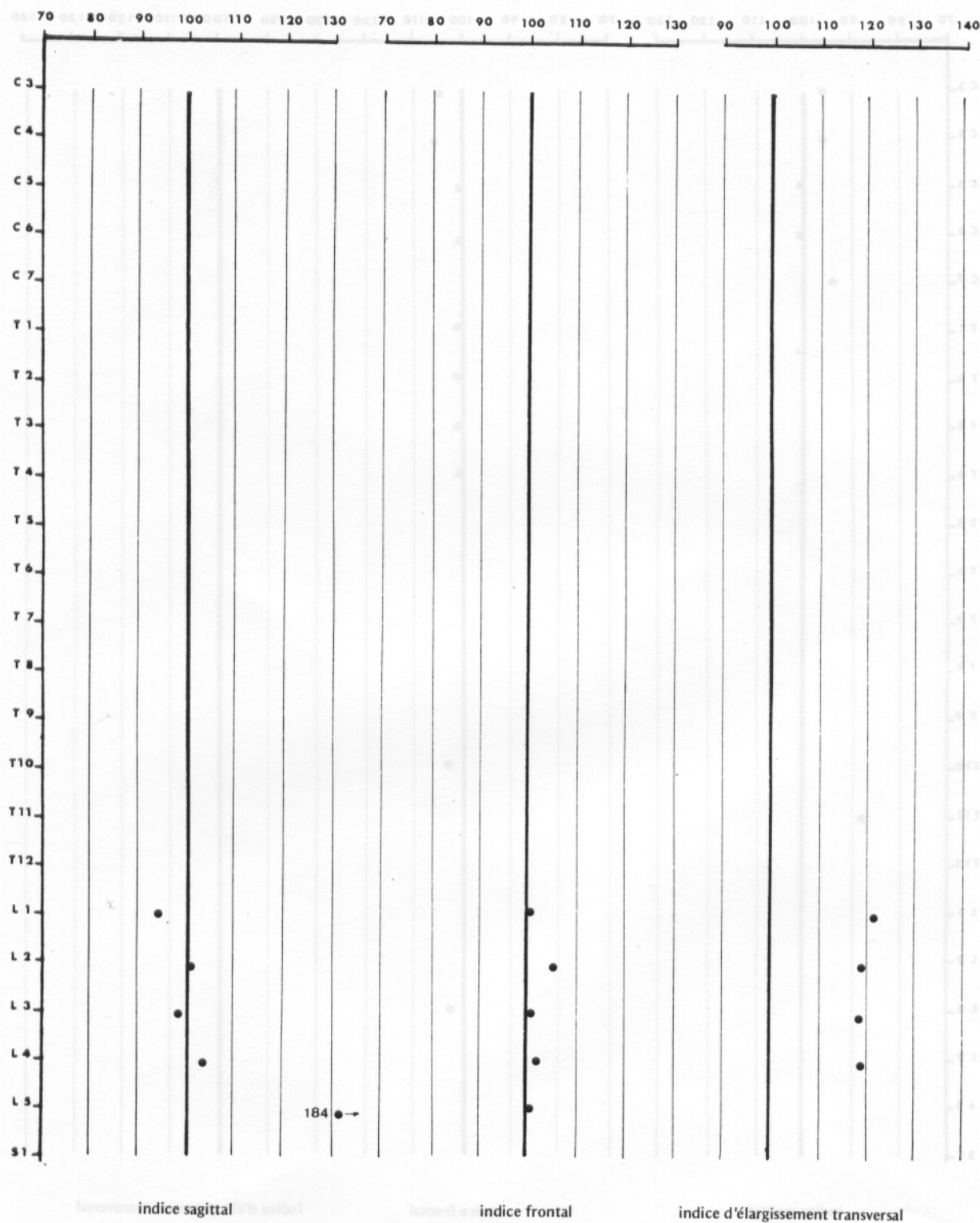
face antérieure



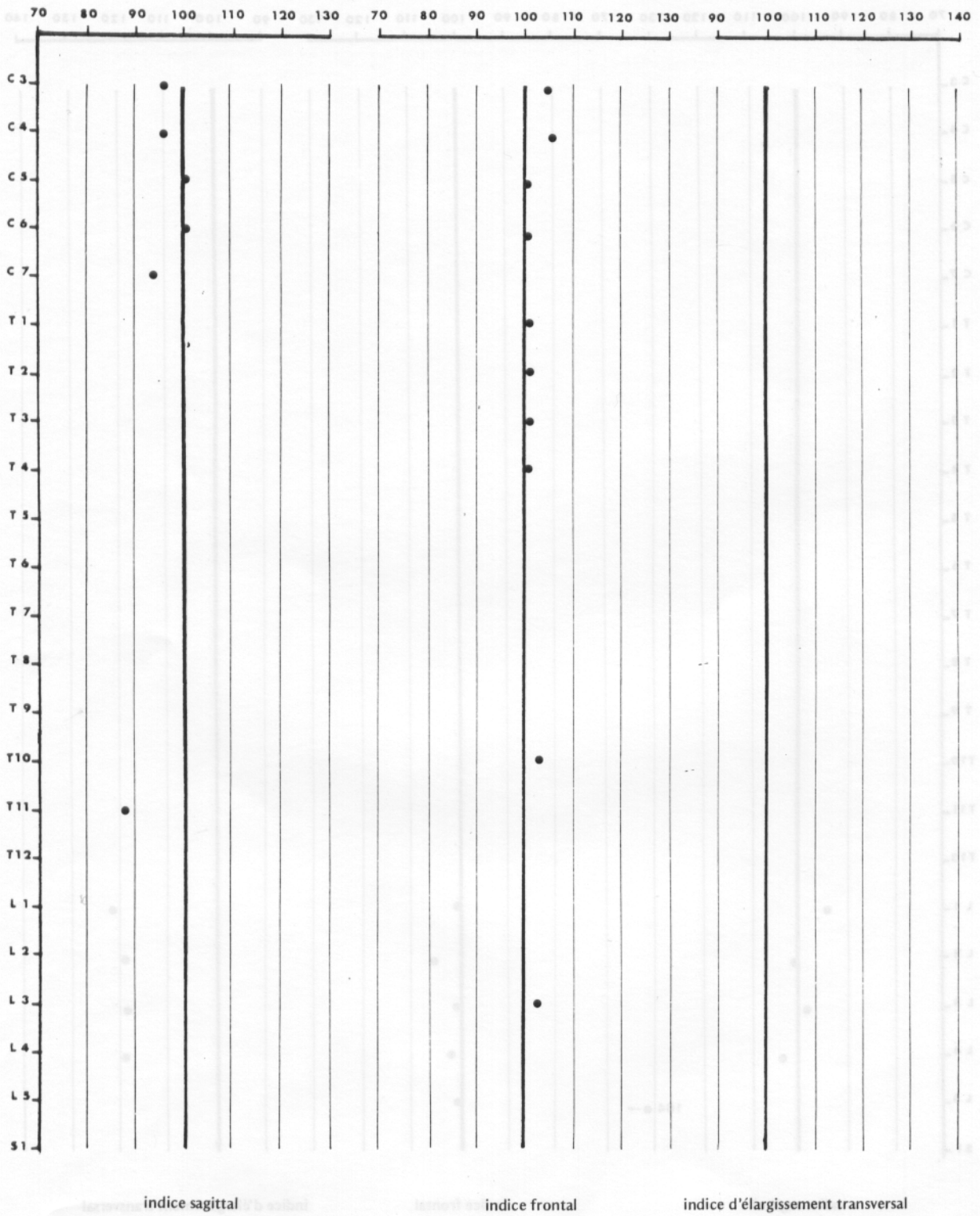
face postérieure

TOPOGRAPHIE DES TROUBLES SENSITIFS

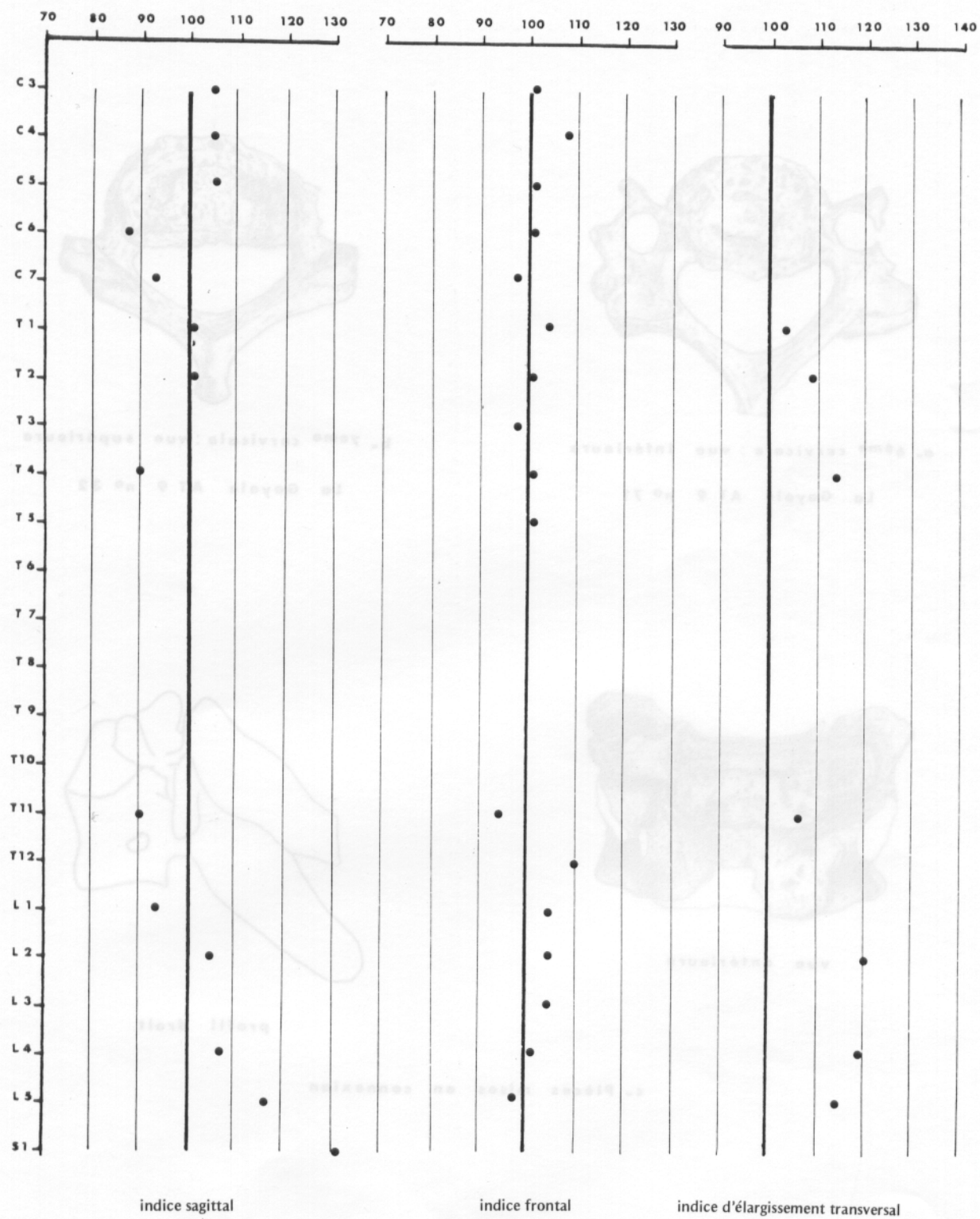
Pl. 50 – Lésion arthrosique C6-C7, La Gayole AT6



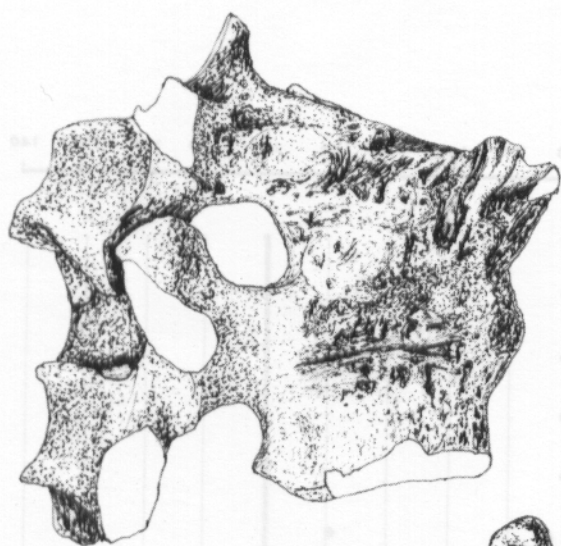
Pl. 51 – Graphe du rachis, La Gayole AT6 bis



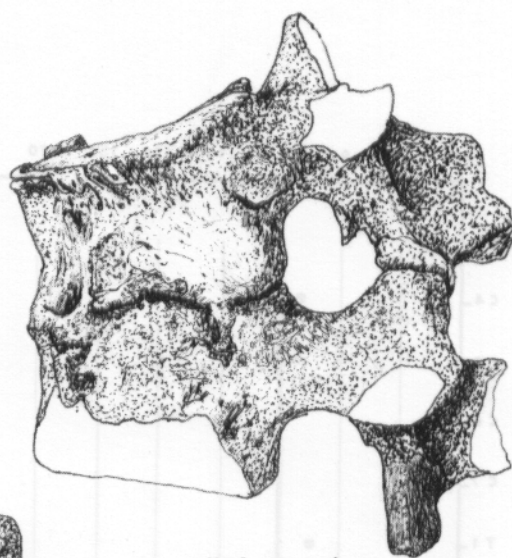
Pl. 52 – Graphe du rachis, La Gayole AT8



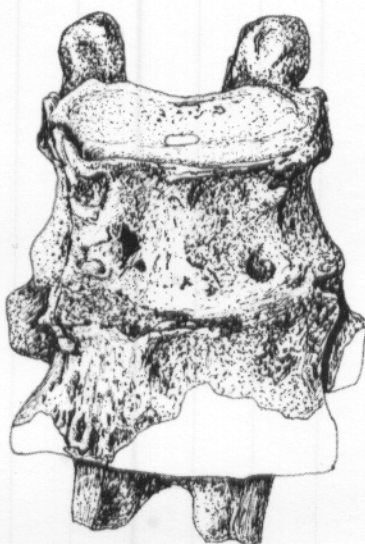
PI. 53 — Graphe du rachis, La Gayole AT9



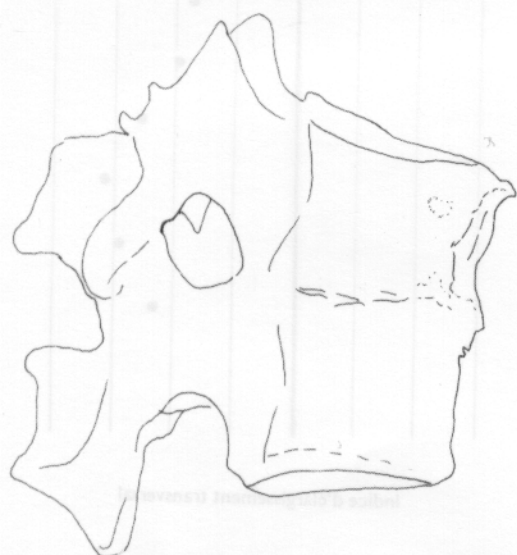
vue droite



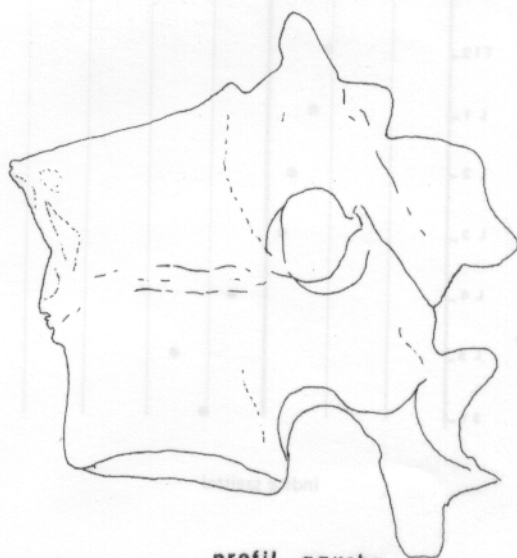
vue gauche



vue antérieure



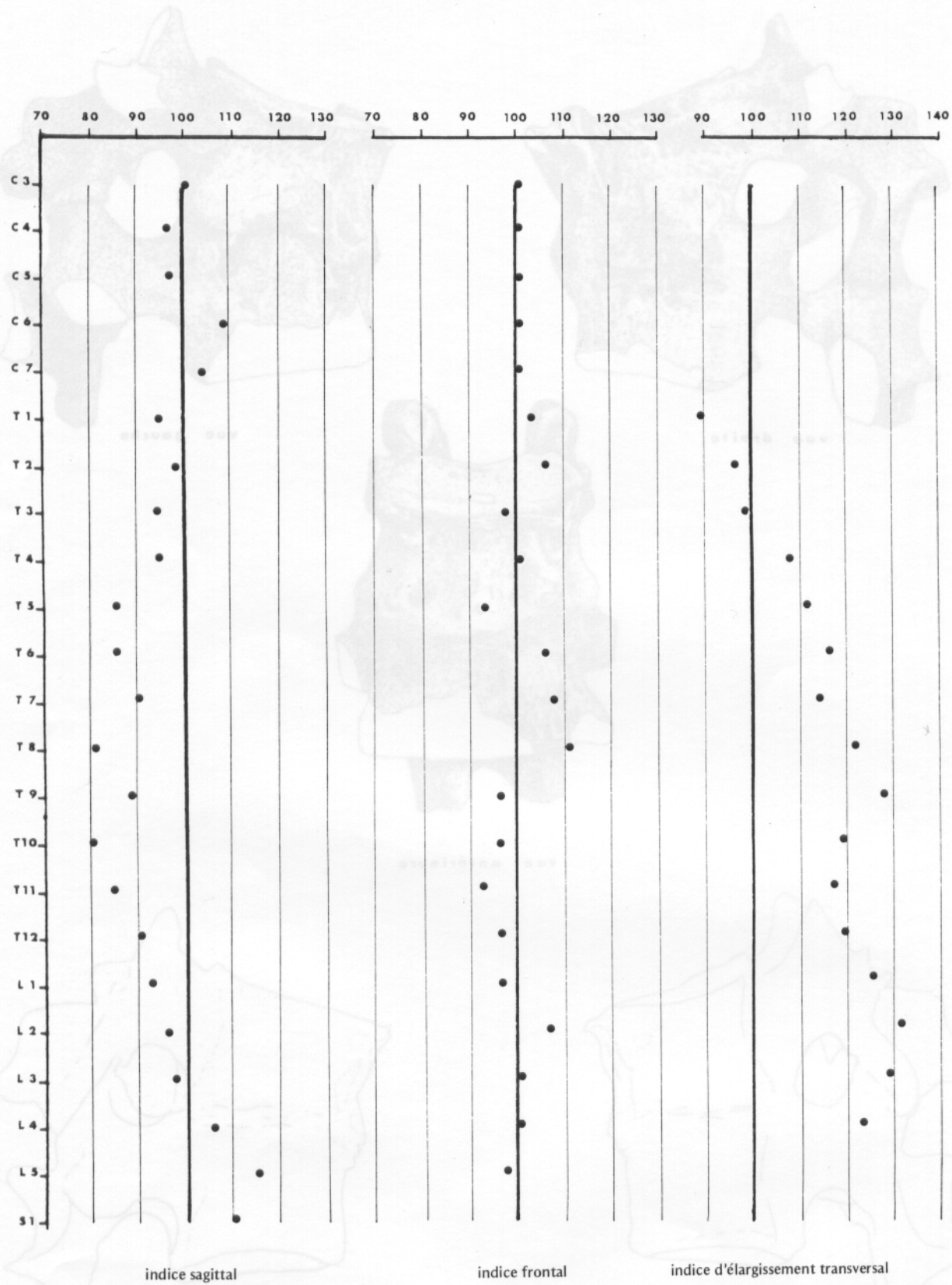
profil droit



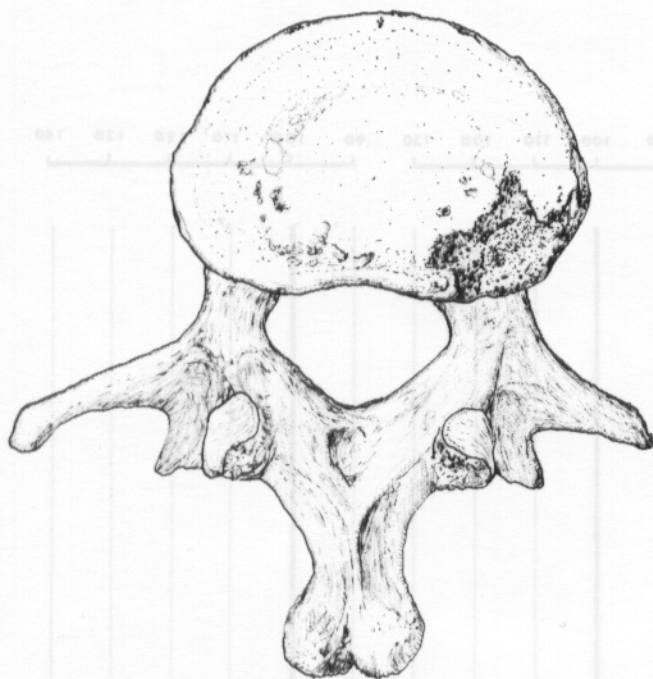
profil gauche

aspect radiologique

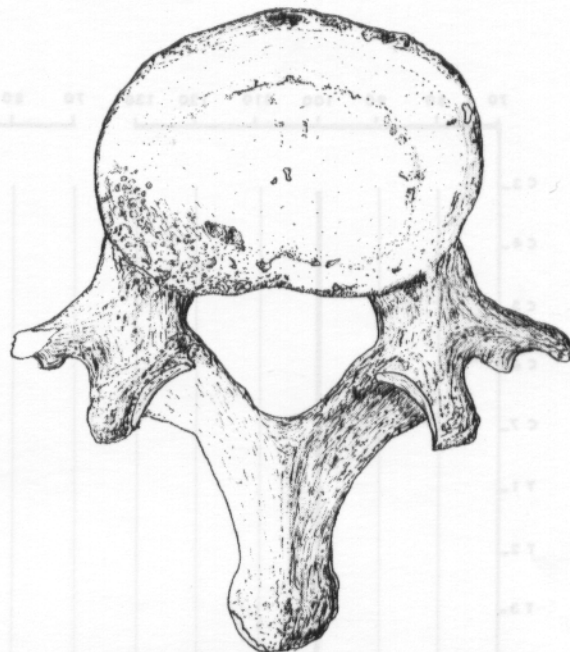
Pl. 55 — Bloc vertébral T12-L1 d'origine infectieuse (brucellose ?), La Gayole AT9 n° 98 et 99



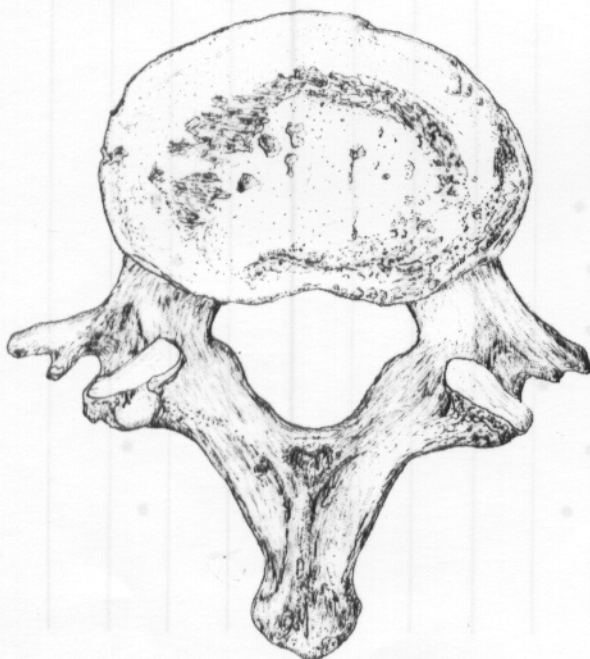
Pl. 56 — Graphe du rachis, La Gayole AT15



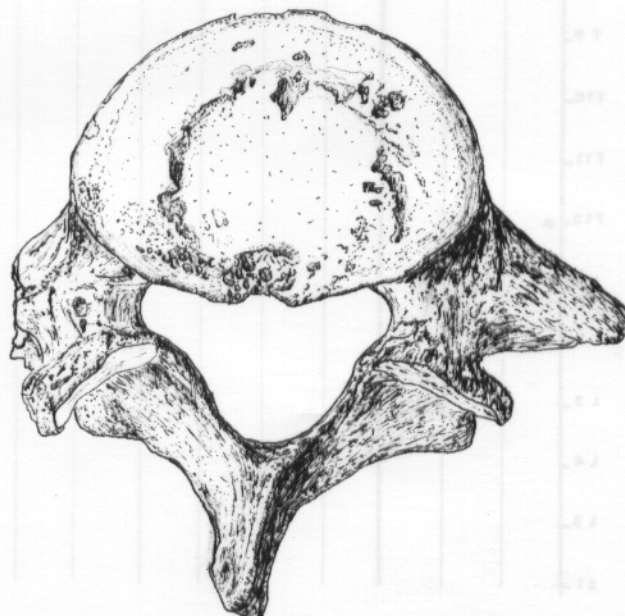
a. 3ème lombaire : face inférieure
La Gayole AT 15 n° 185



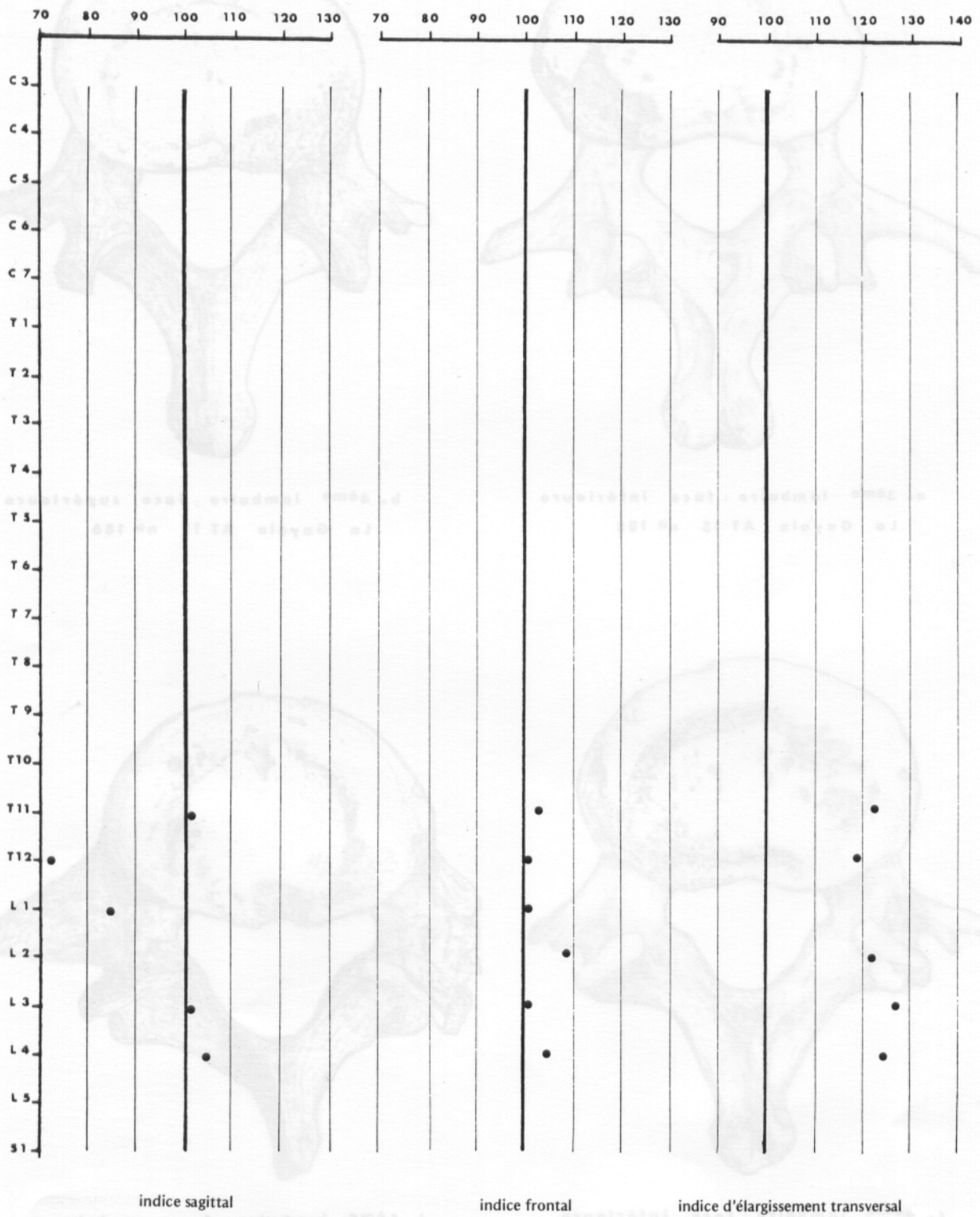
b. 4ème lombaire : face supérieure
La Gayole AT 15 n° 186



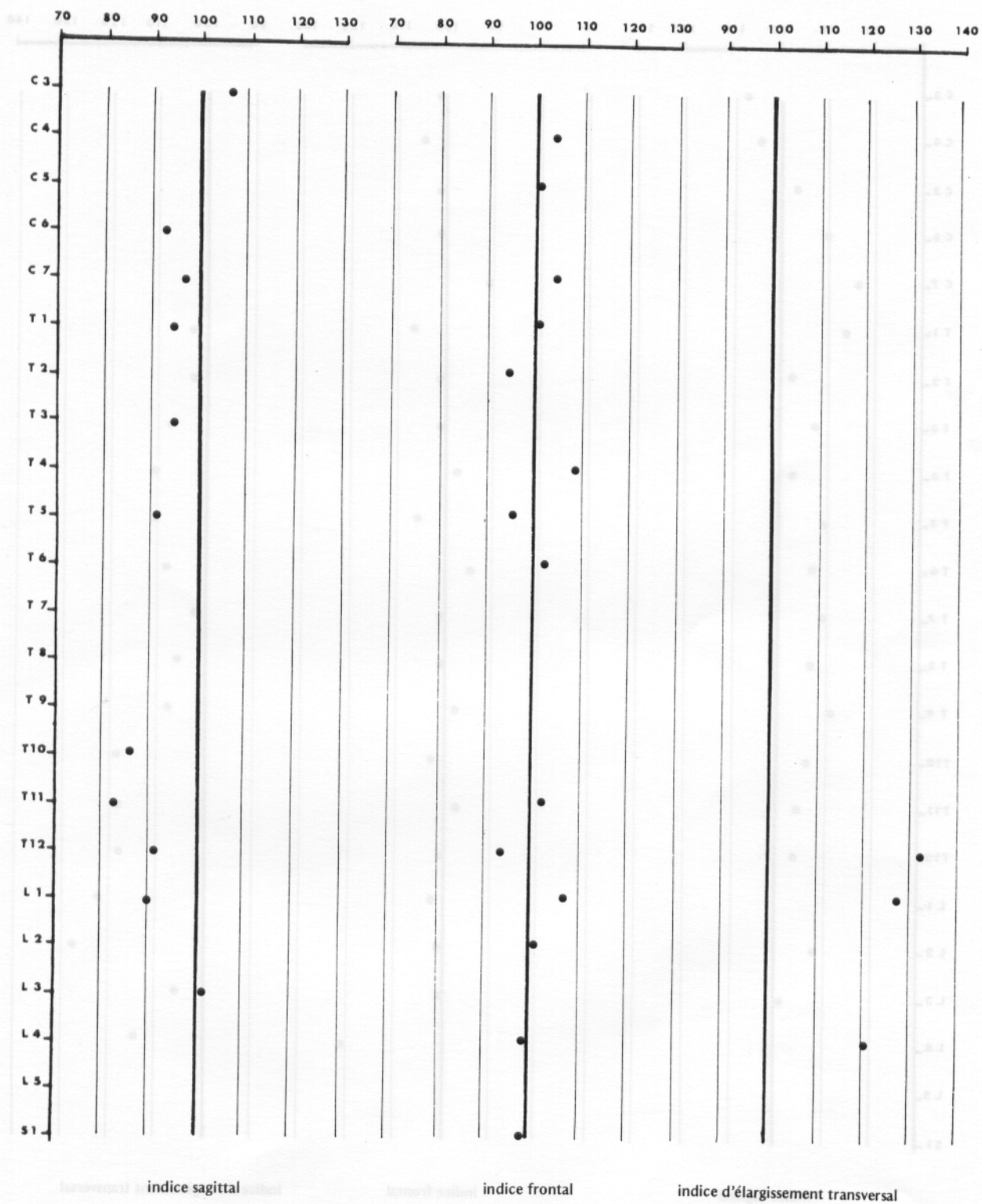
c. 4ème lombaire : face inférieure
La Gayole AT 15 n° 186



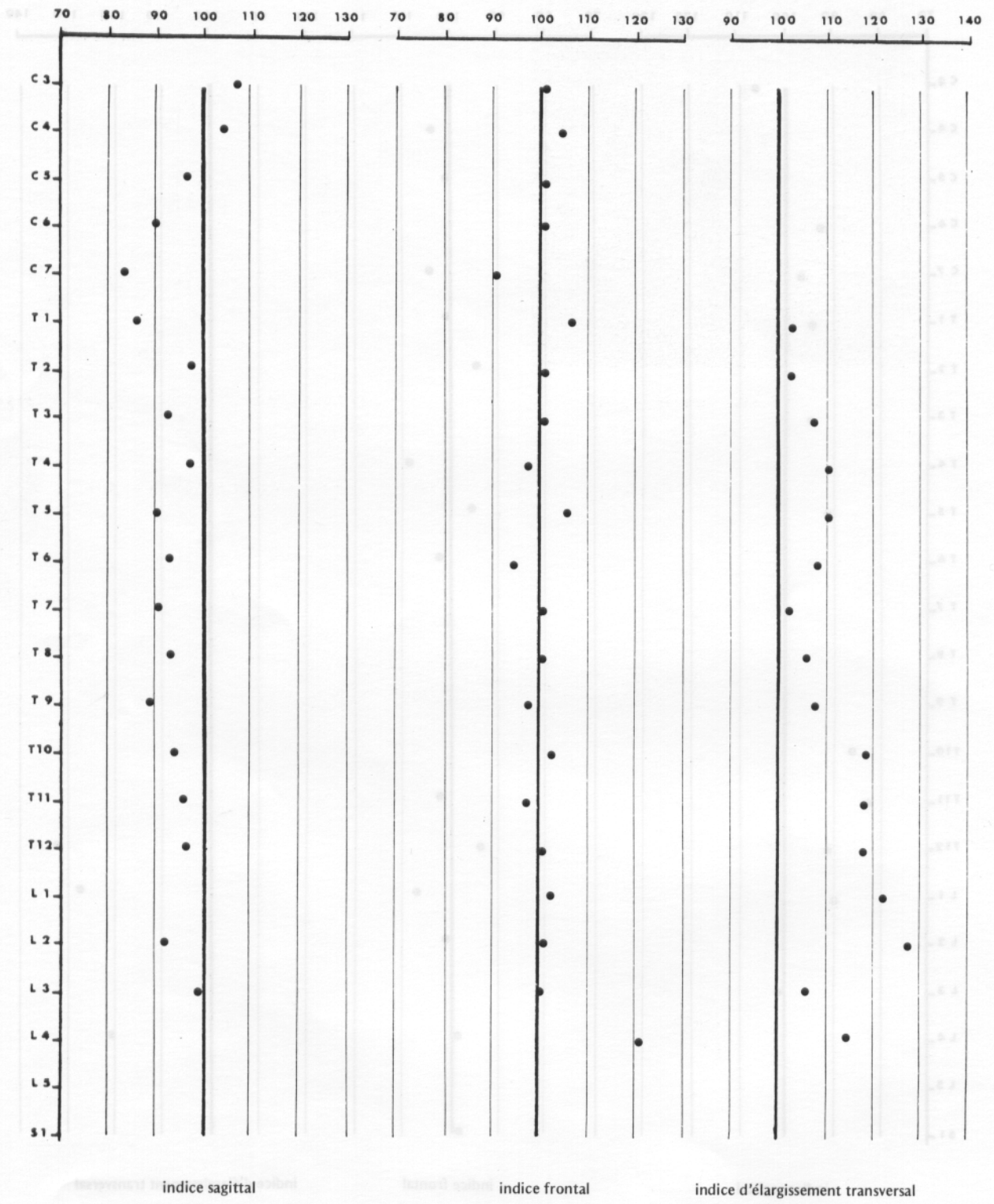
d. 5ème lombaire : face supérieure
La Gayole AT 15 n° 187



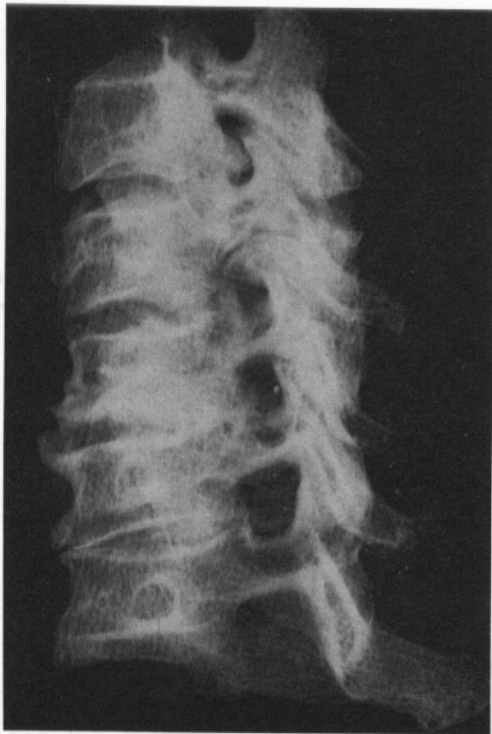
PI. 58 — Graphe du rachis, La Gayole AT16 bis



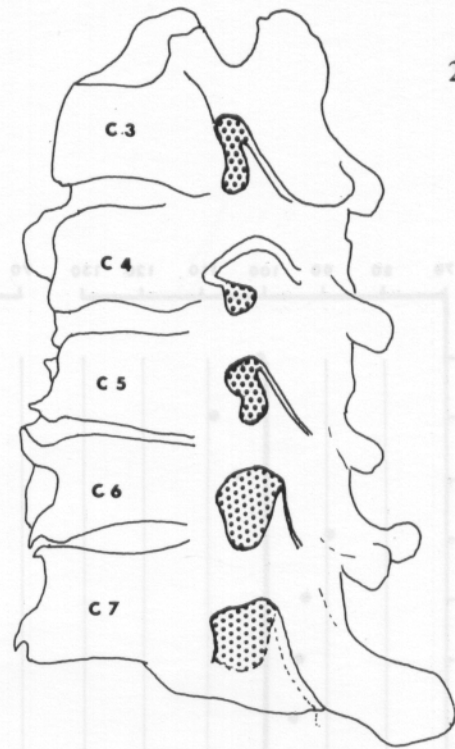
Pl. 59 — Graphe du rachis, La Gayole AT17



PI. 60 – Graphe du rachis, La Gayole BT6

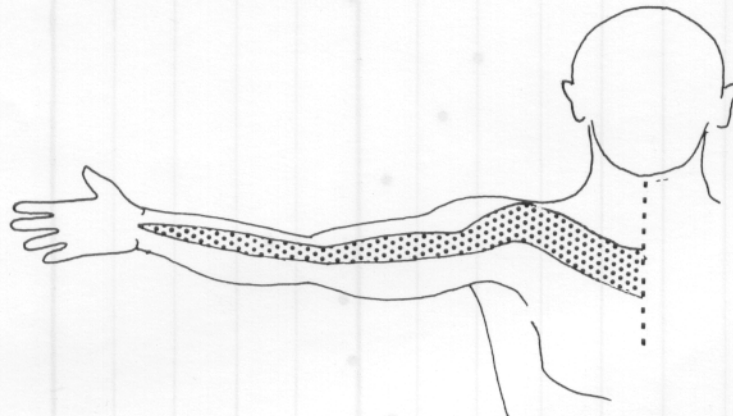


a. radiographie de trois-quarts gauche du rachis cervical de C3 à C7

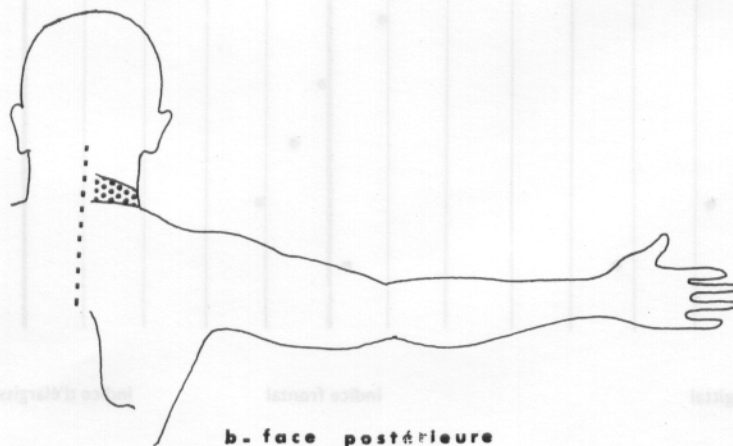


b. calque des trous de conjugaison gauches

UNCODISCARTHROSE ETAGEE , A PREDOMINANCE C4-C5



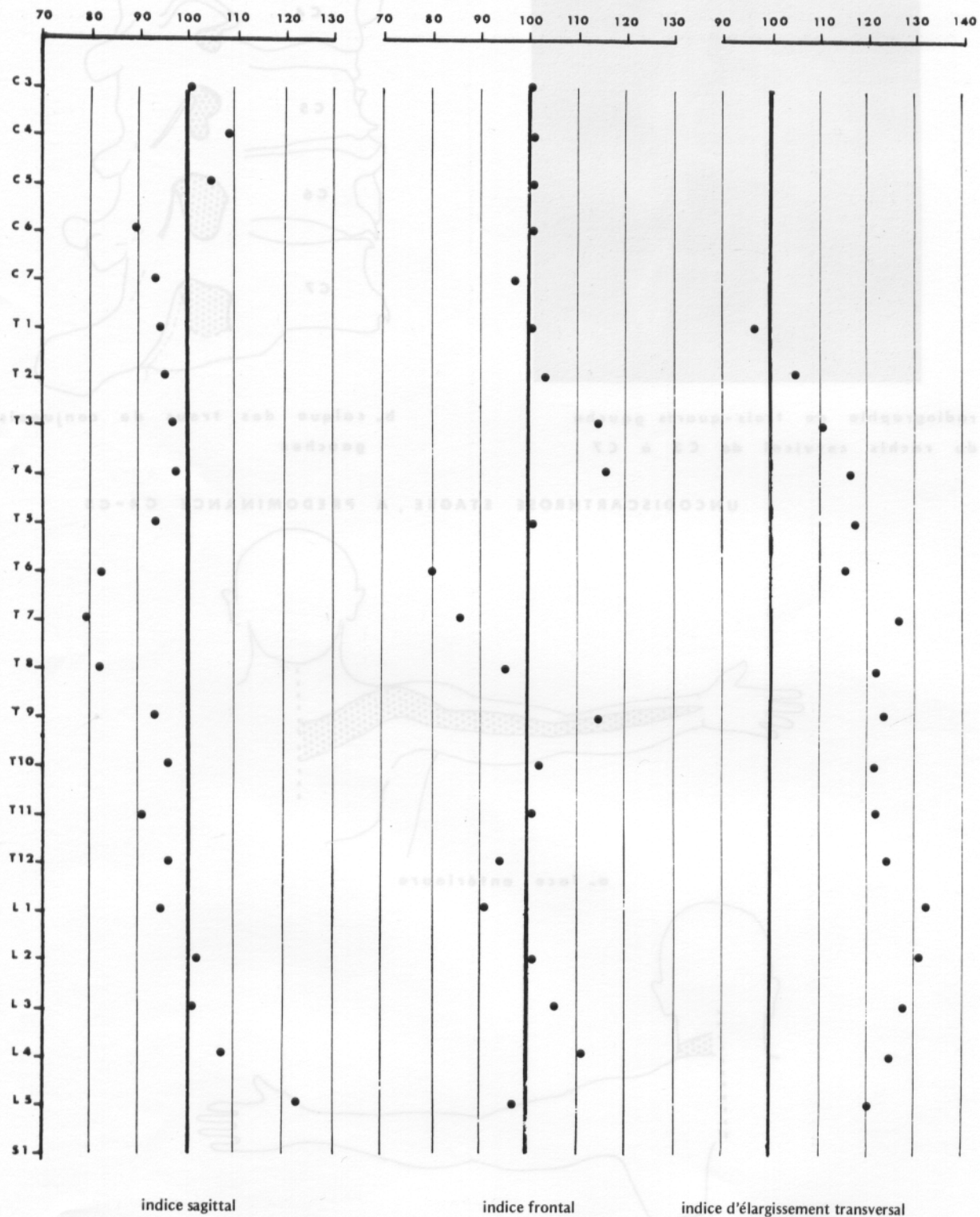
a. face antérieure



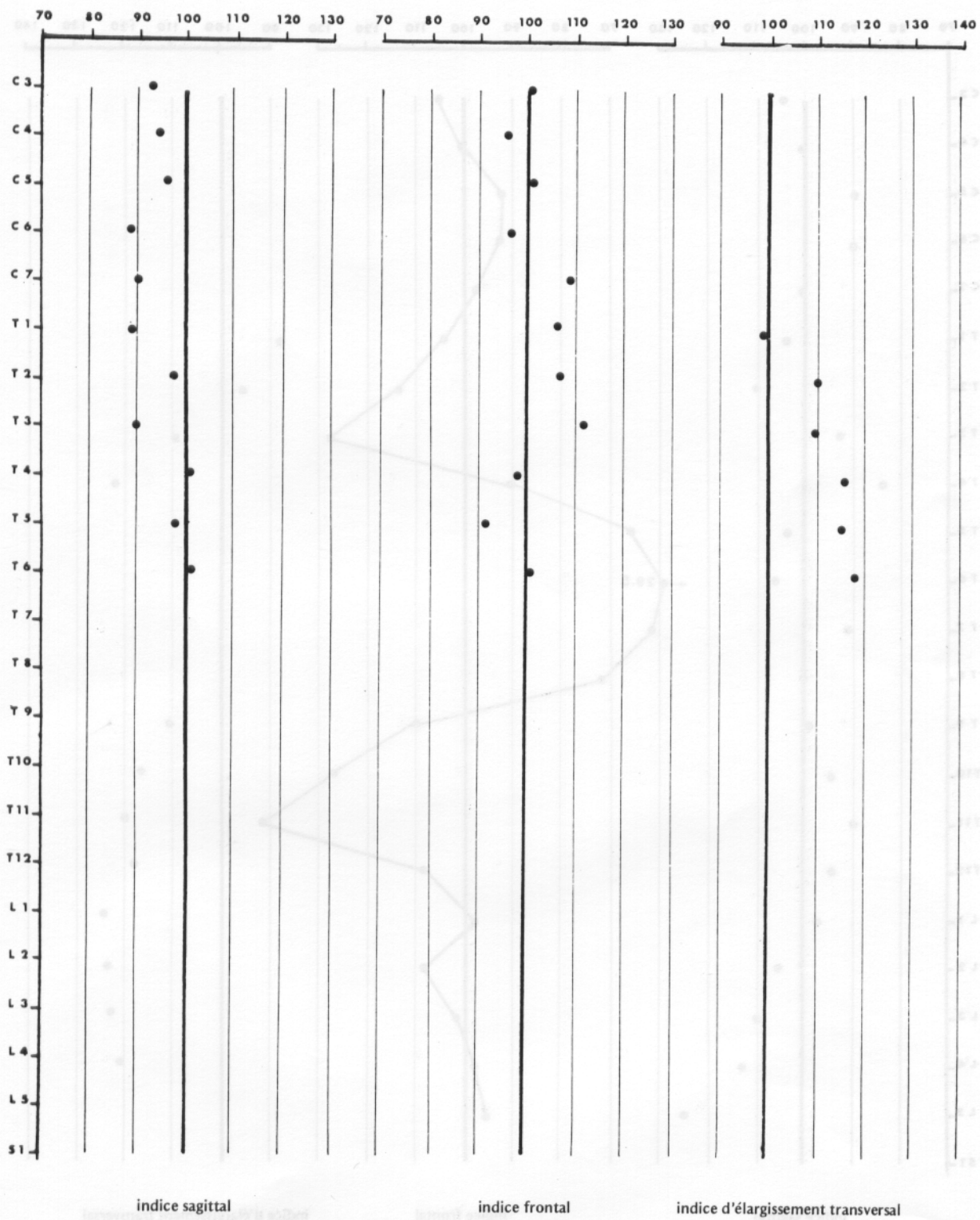
b. face postérieure

TOPOGRAPHIE DES TROUBLES SENSITIFS

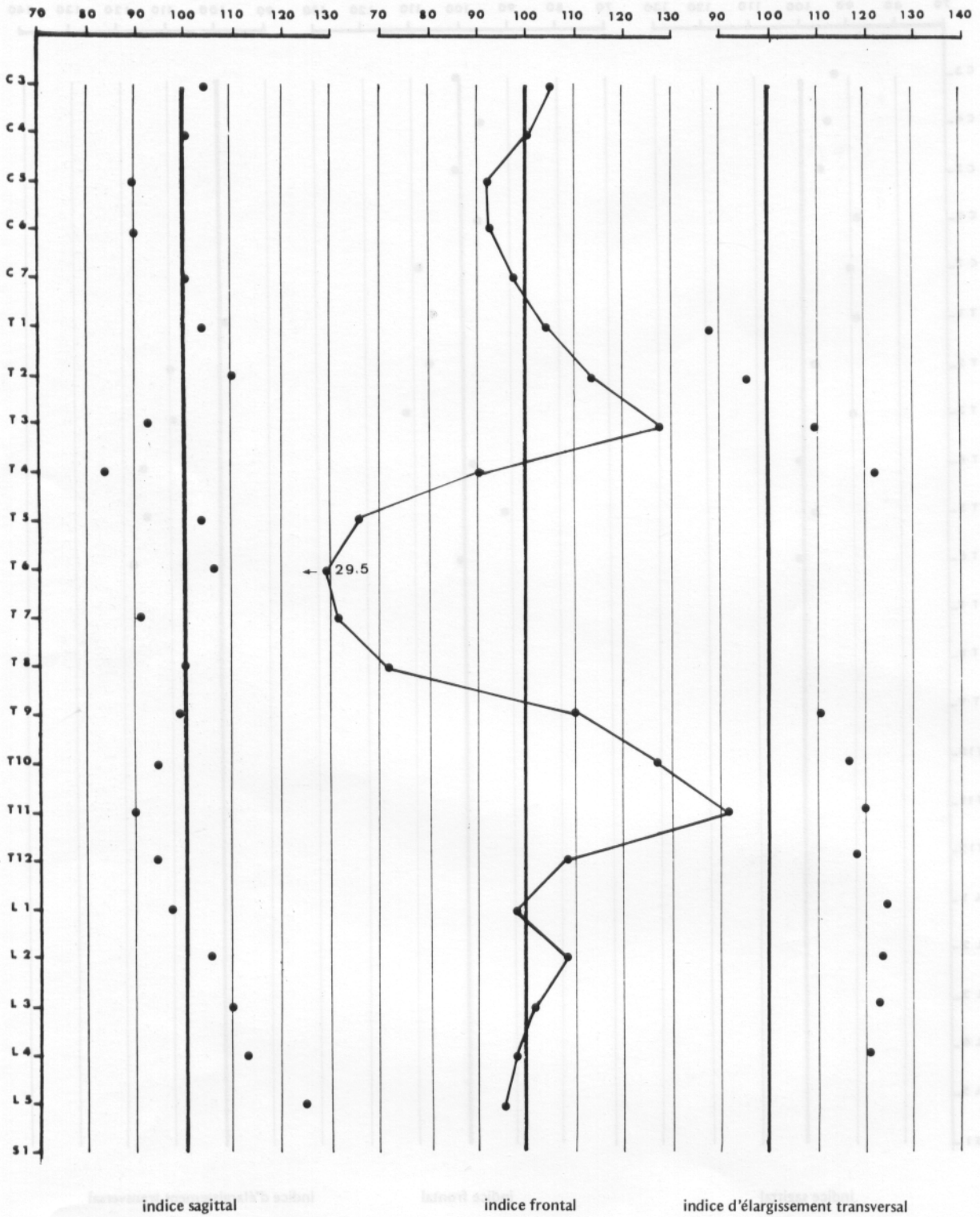
Pl. 61 — Uncodiscarthrose étagée à prédominance L4-L5, La Gayole BT6



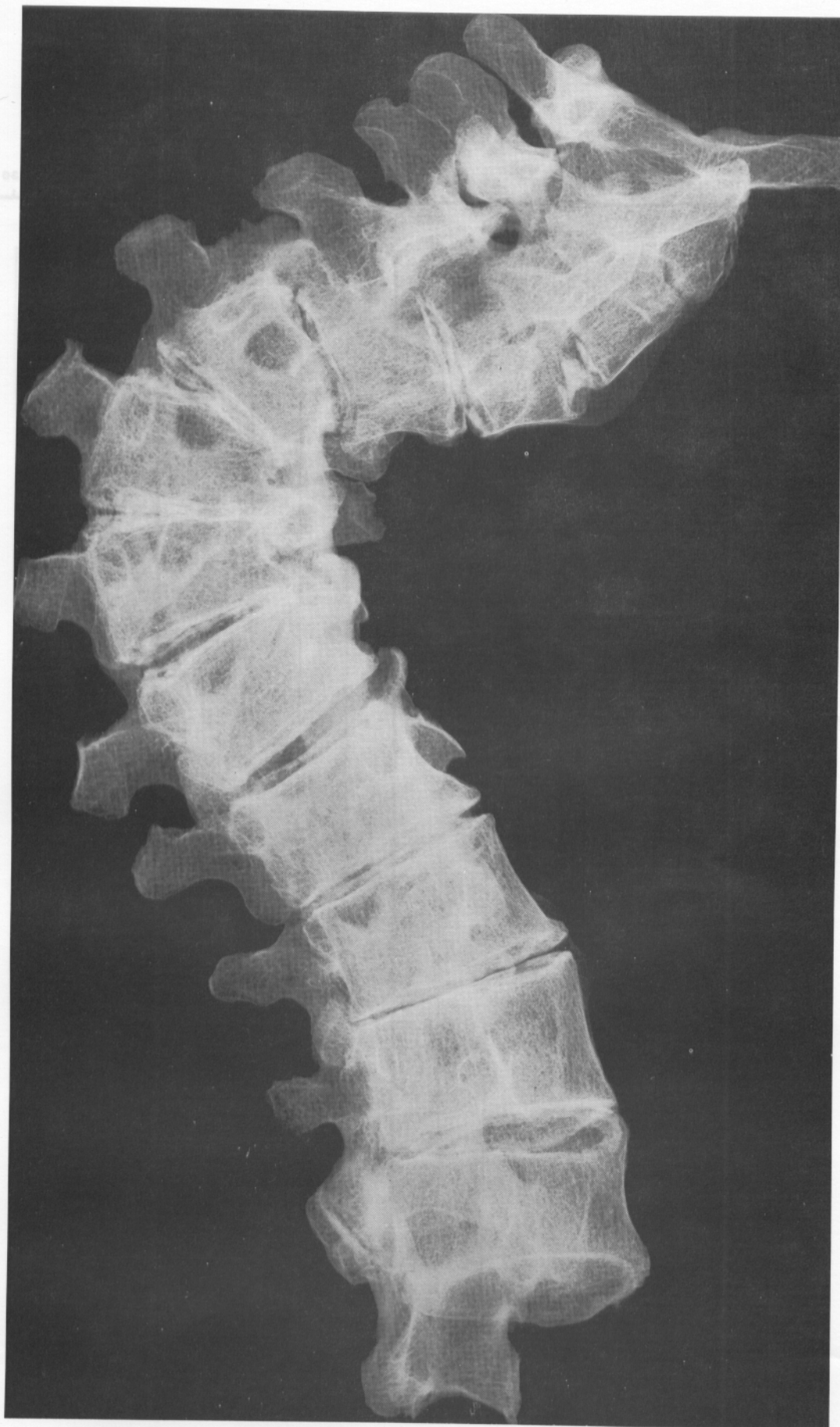
PI. 62 – Graphe du rachis, La Gayole BT7



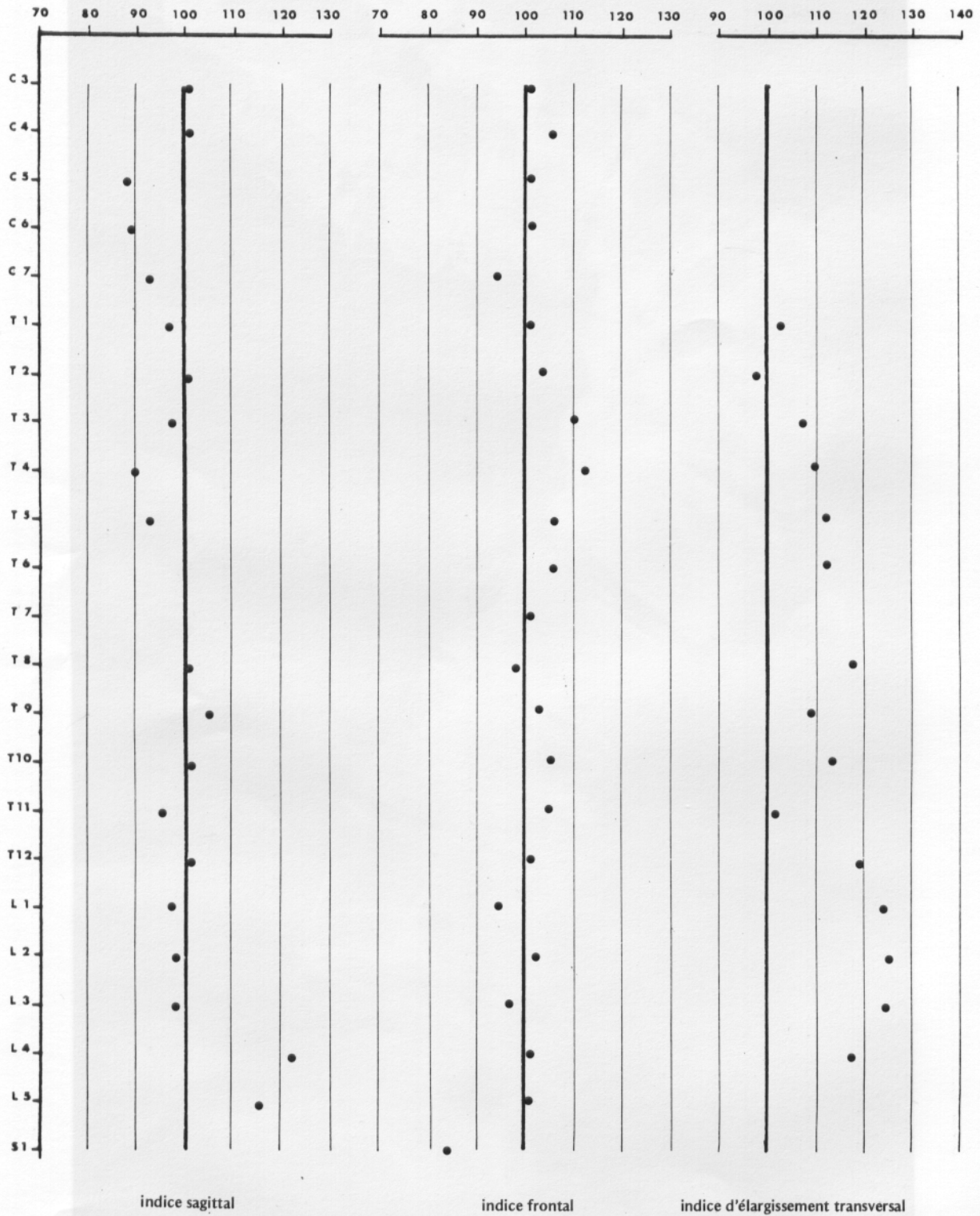
Pl. 63 – Graphe du rachis, La Gayole BT8



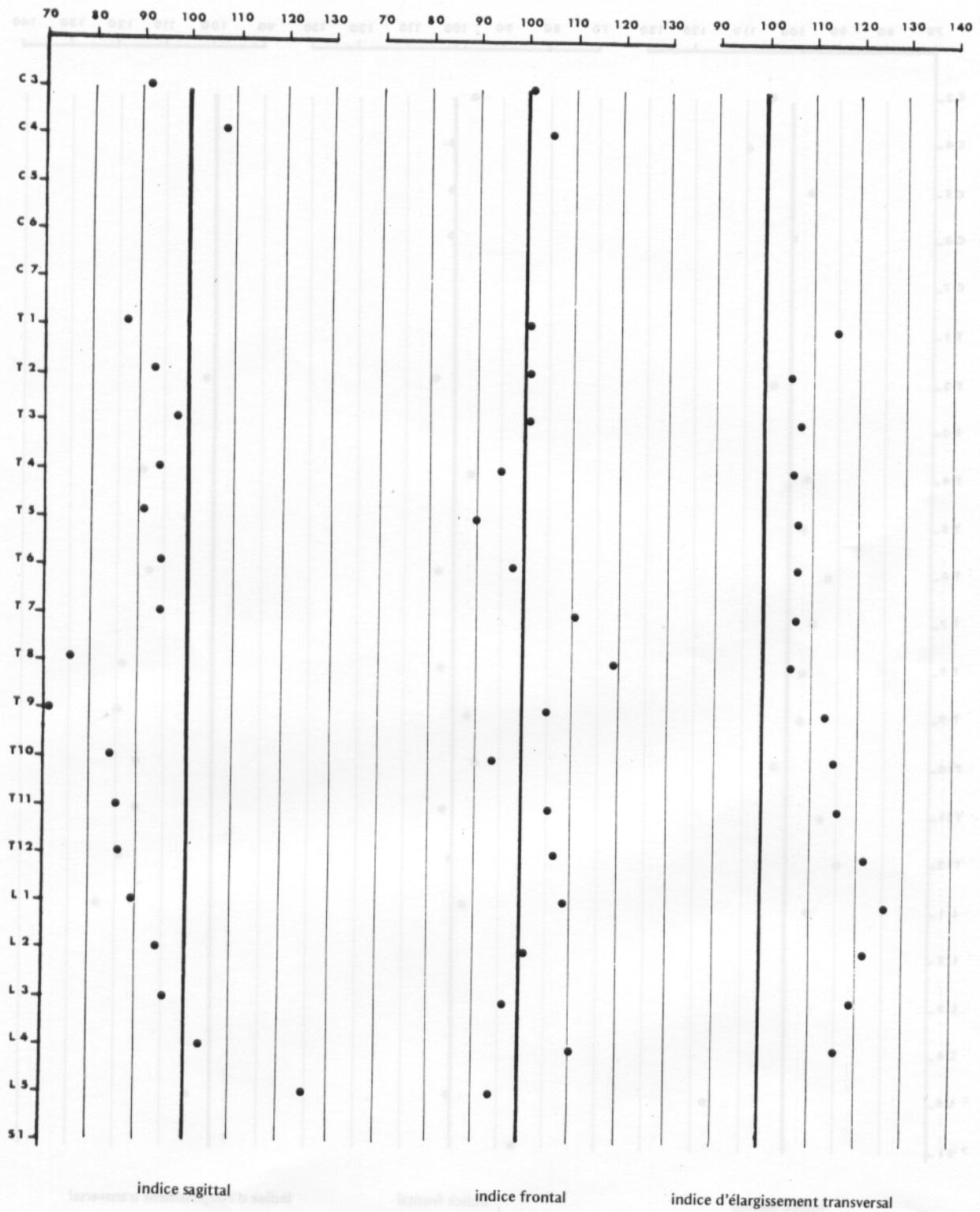
Pl. 64 – Graphe du rachis, La Gayole BT10



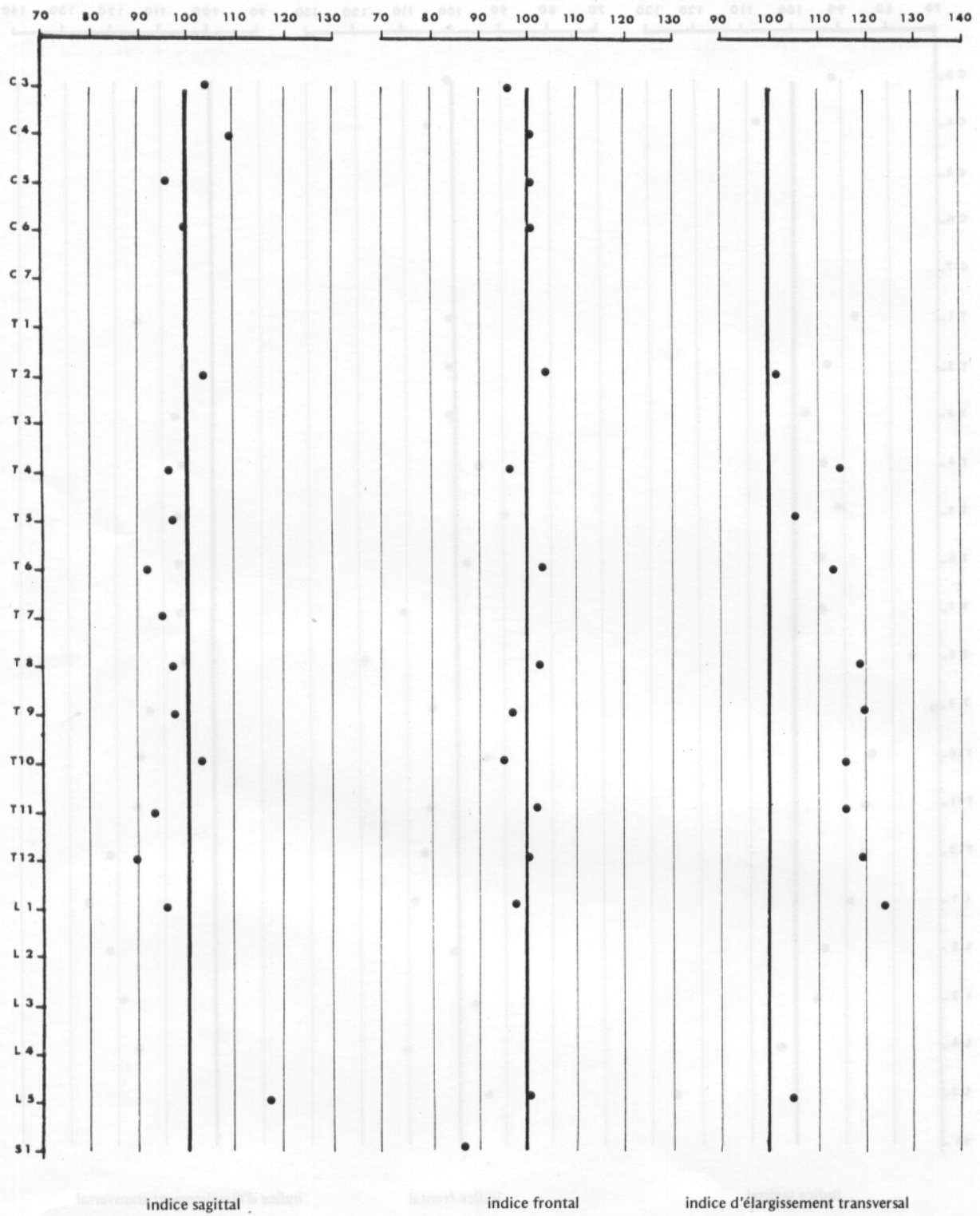
Pl. 65 — Scoliose thoracique dextro-convexe idiopathique,
aspect radiographique, cliché de face, La Gayole BT10



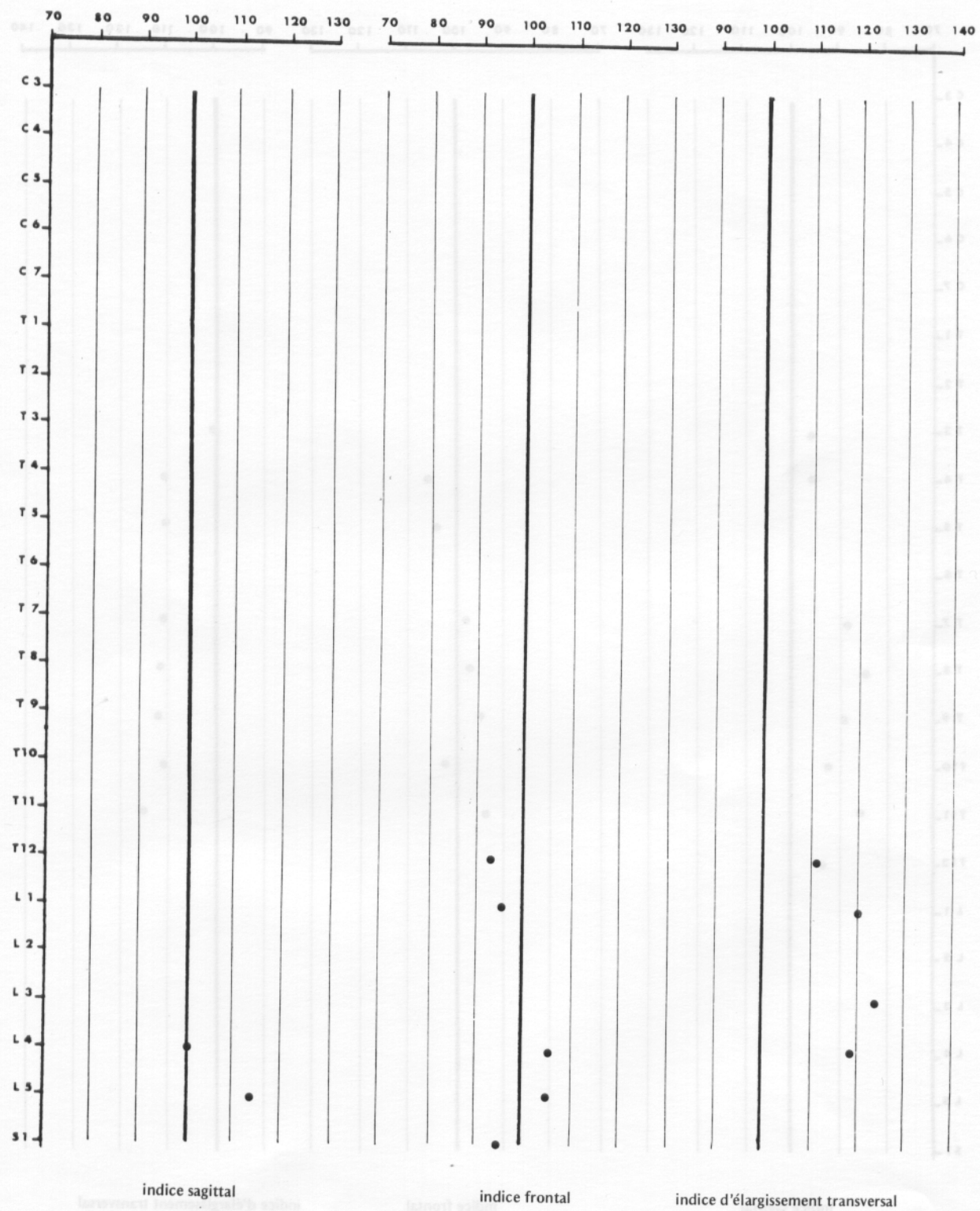
PI. 66 — Graphe du rachis, La Gayole BT12



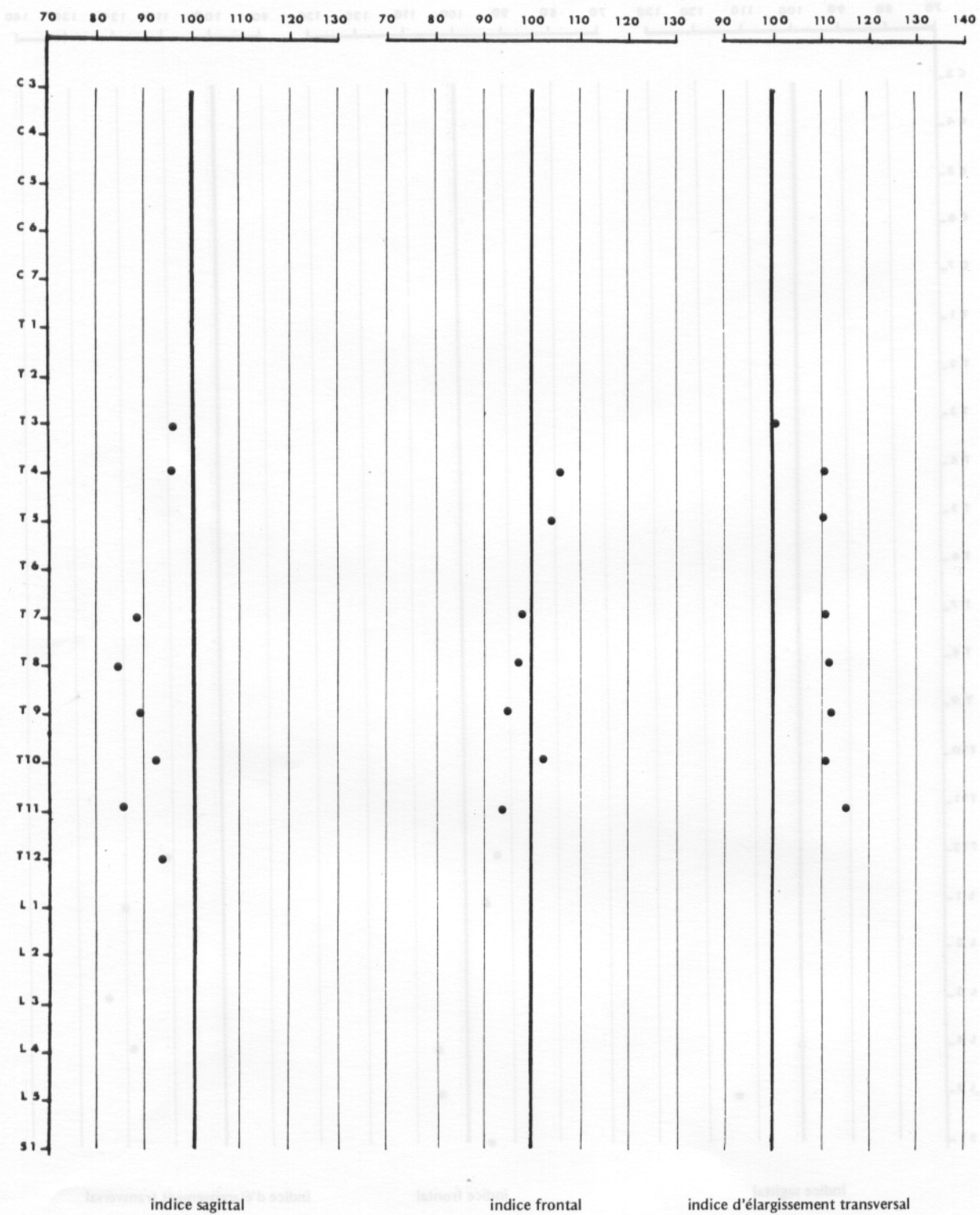
Pl. 67 — Graphe du rachis, La Gayole BT17



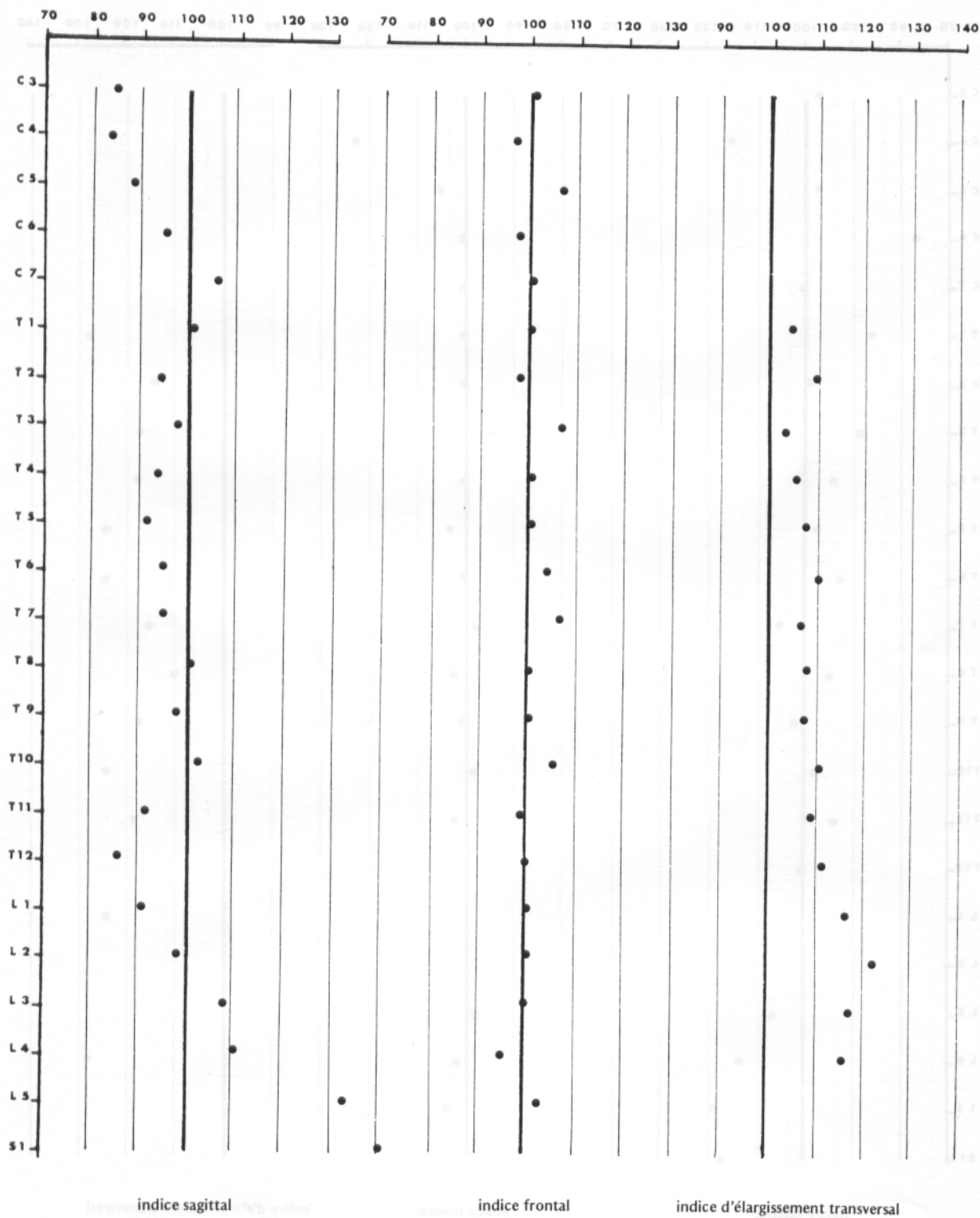
Pl. 68 — Graphe du rachis, La Gayole BT19



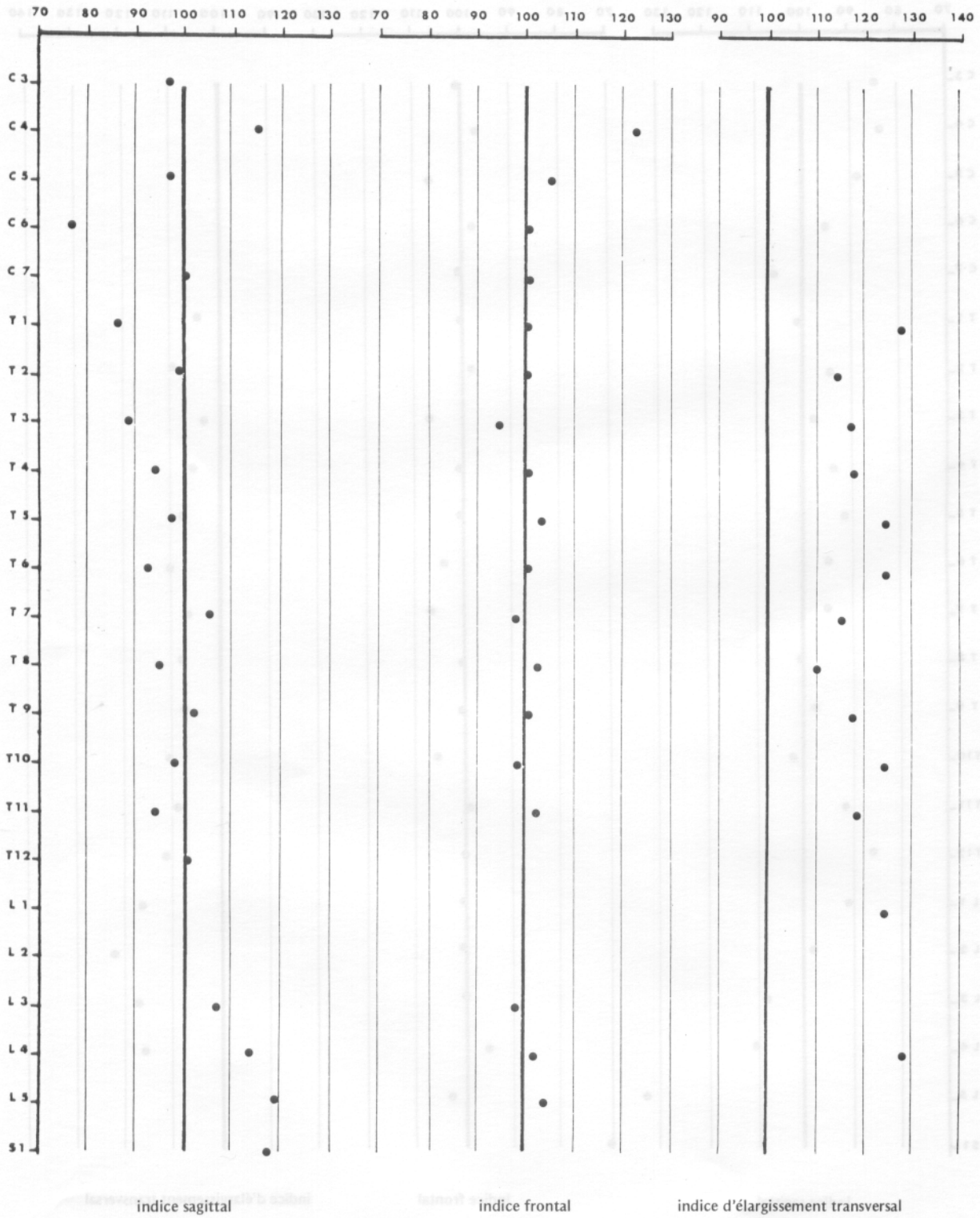
Pl. 69 — Graphe du rachis, La Gayole BT20



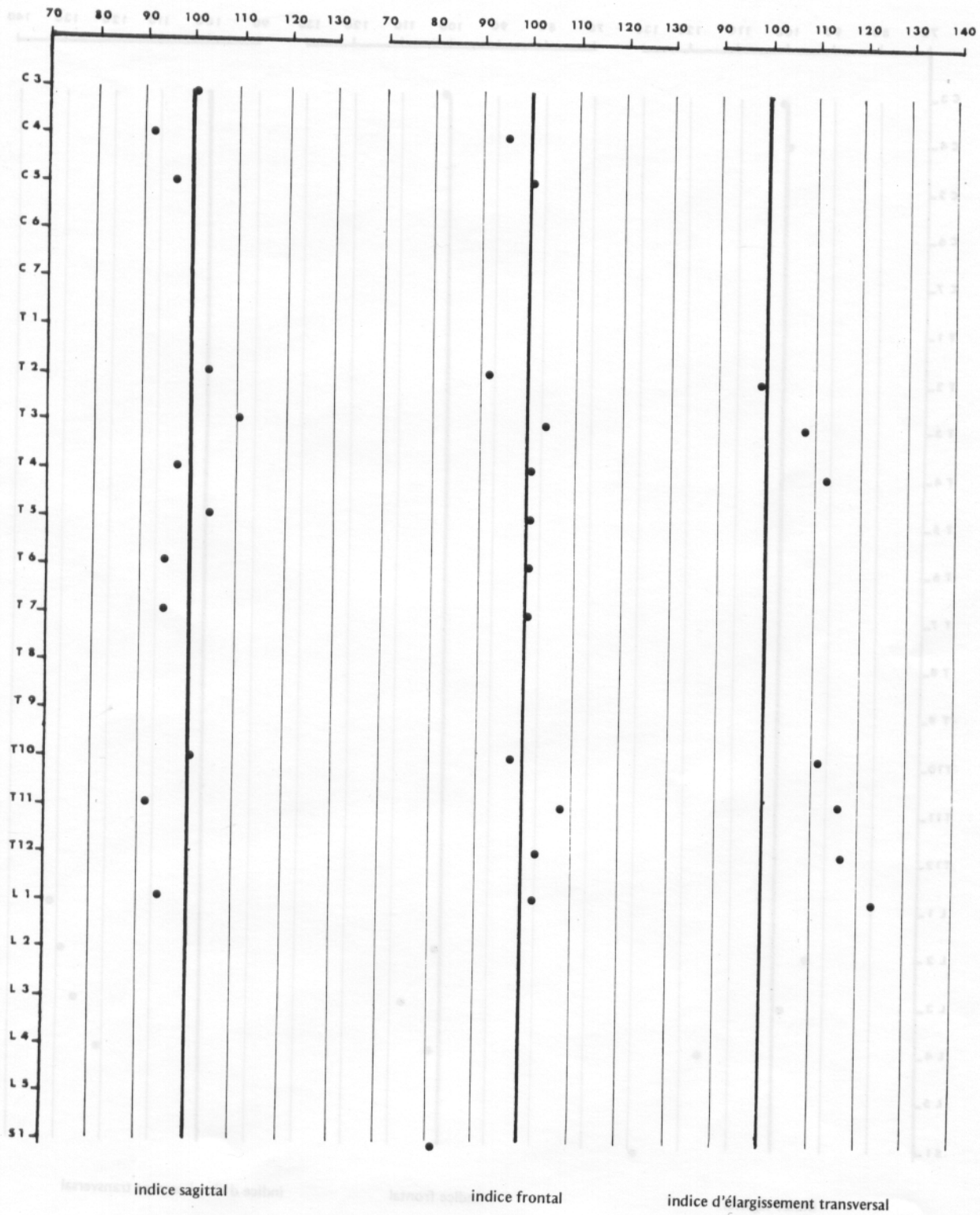
Pl. 70 — Graphe du rachis, La Gayole BT26



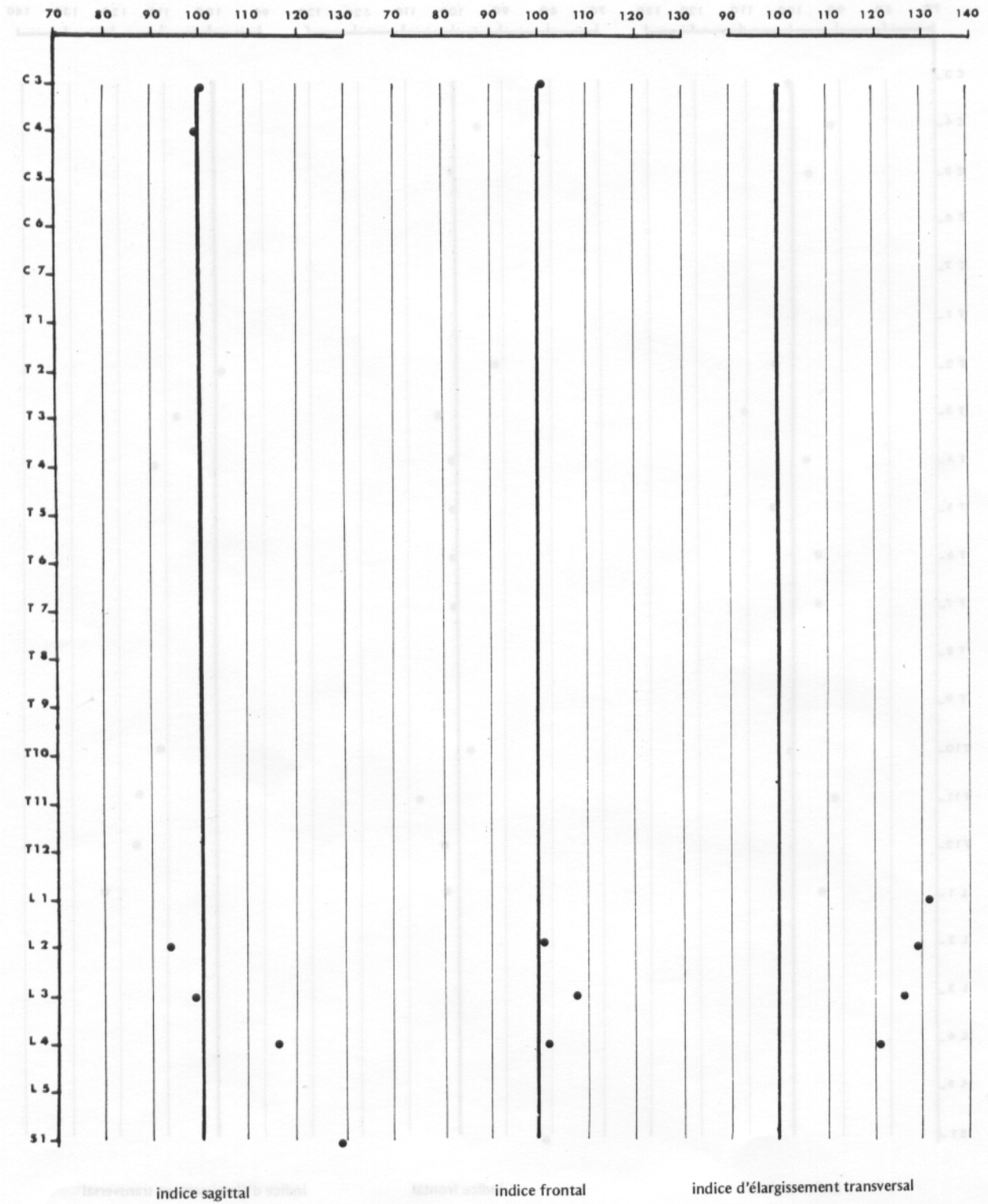
Pl. 71 – Graphe des indices du rachis, La Gayole BT27



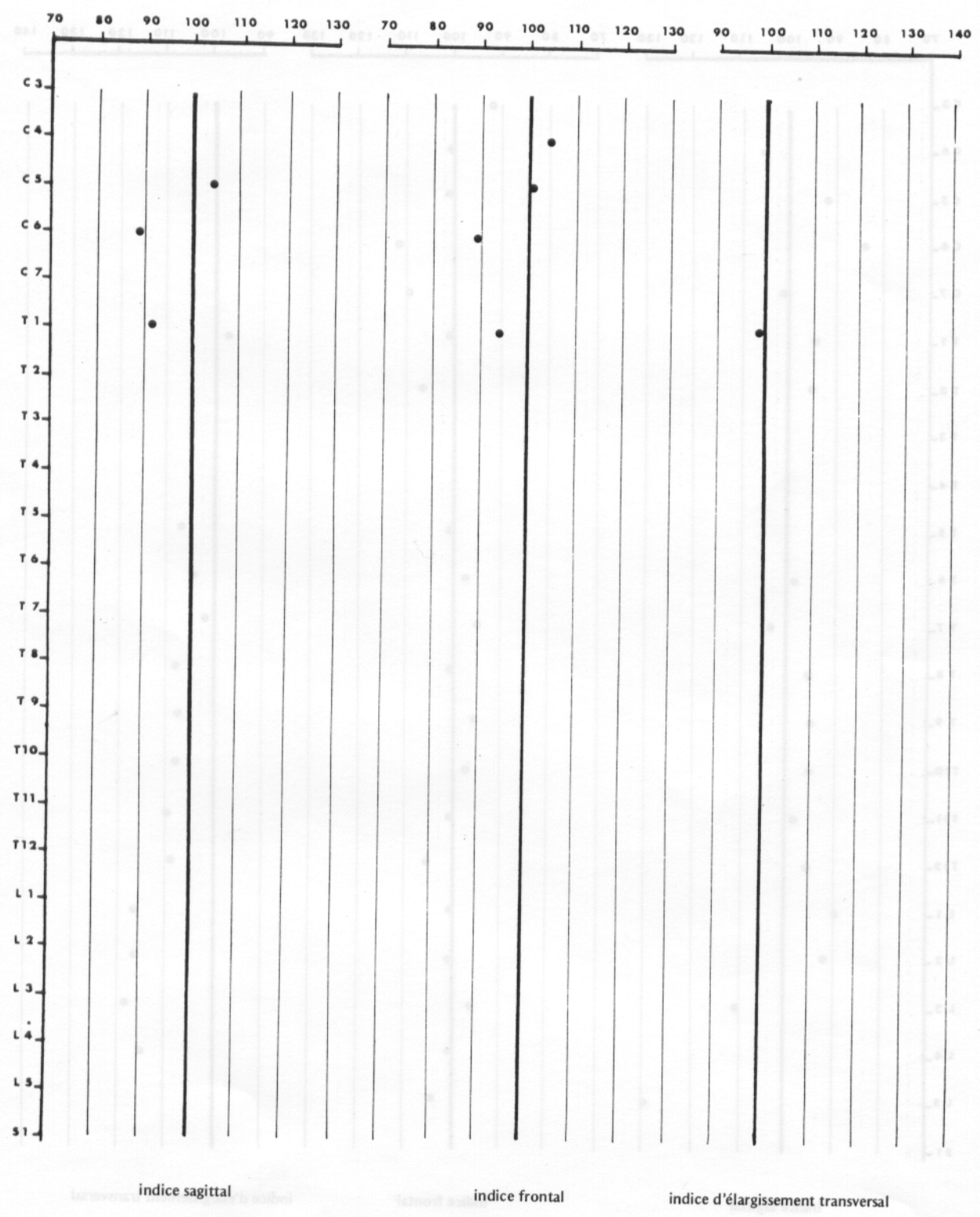
Pl. 72 – Graphe des indices du rachis, La Gayole BT29



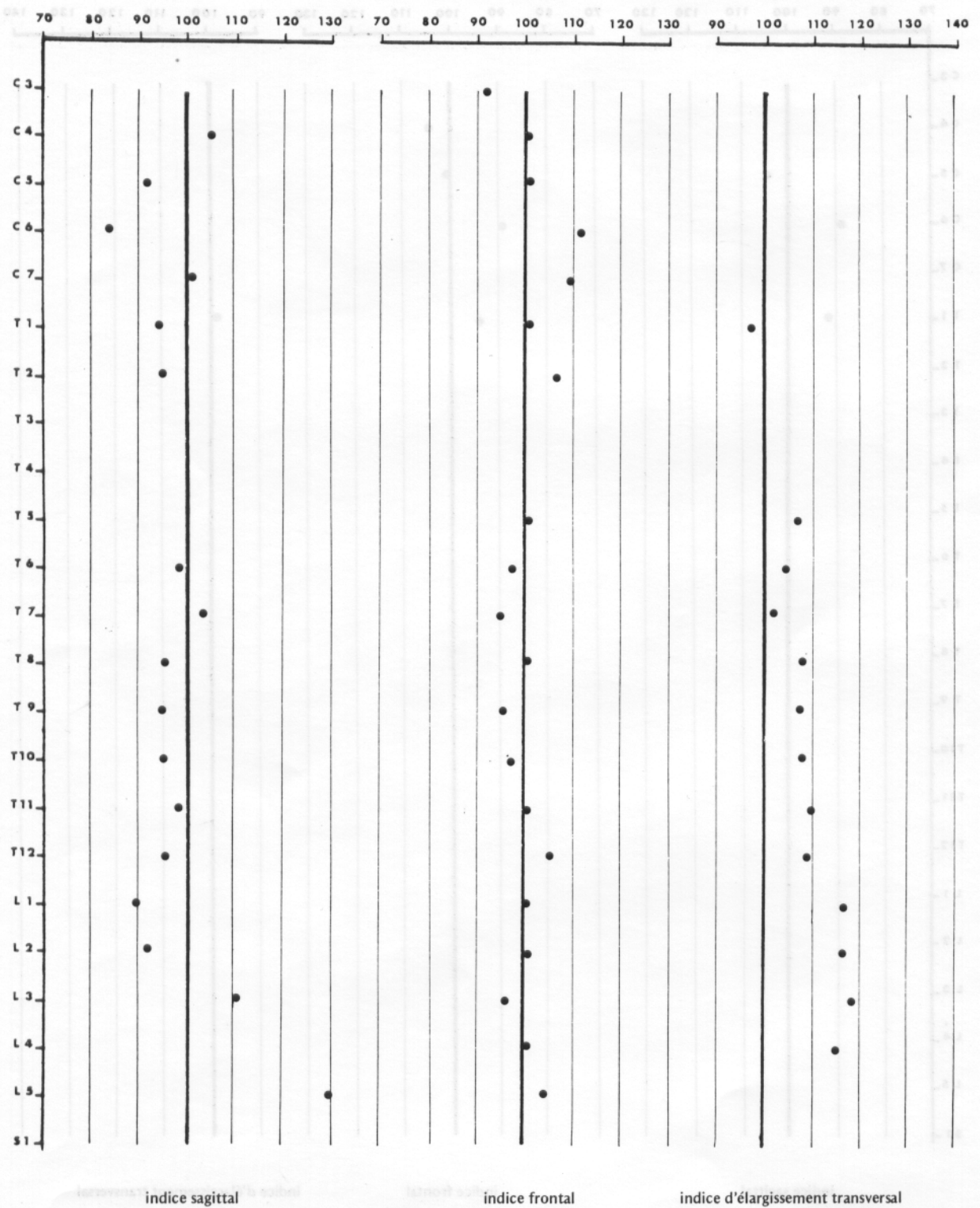
PI. 73 — Graphe des indices du rachis, La Gayole BT34



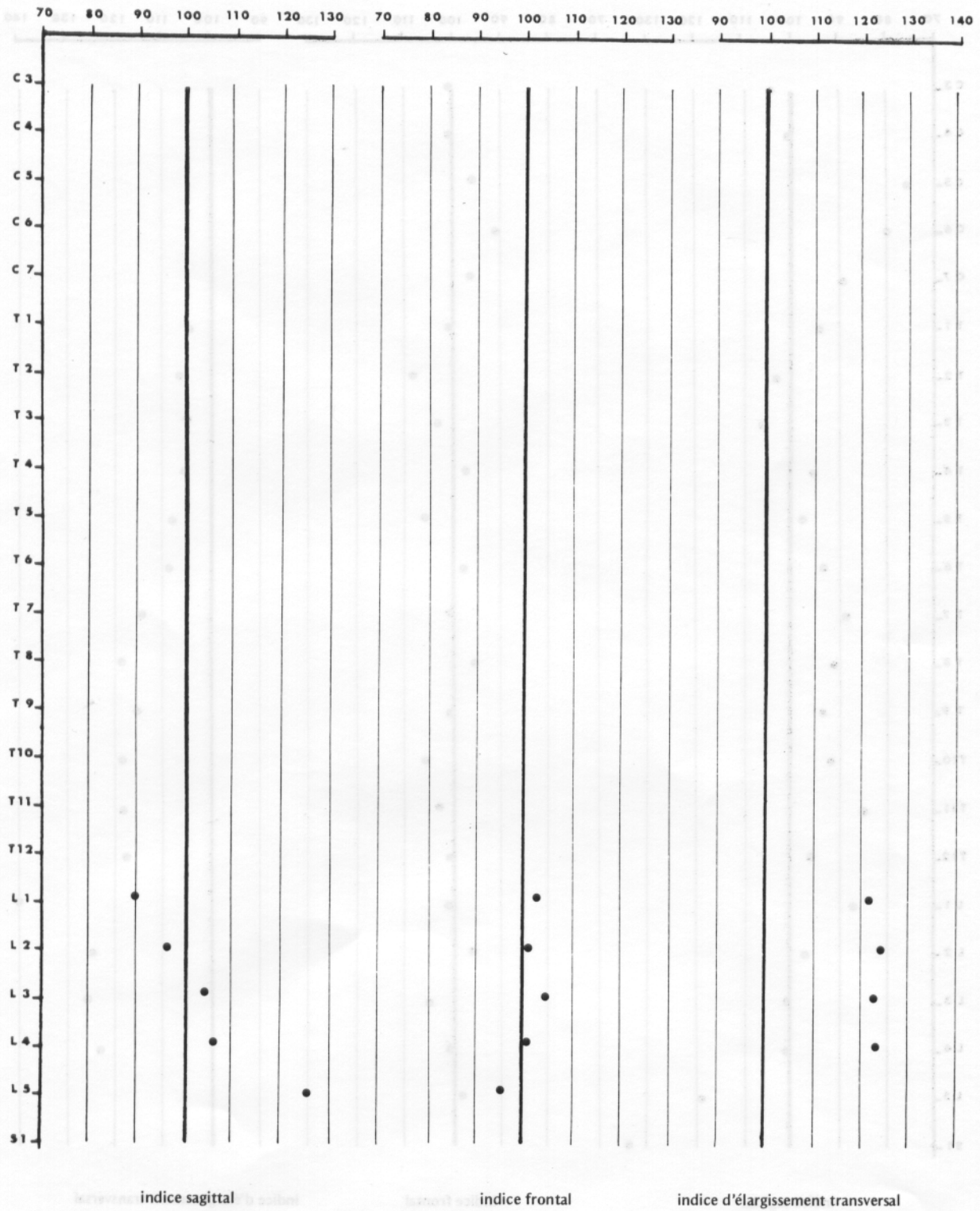
Pl. 74 — Graphe des indices du rachis, La Gayole BT35



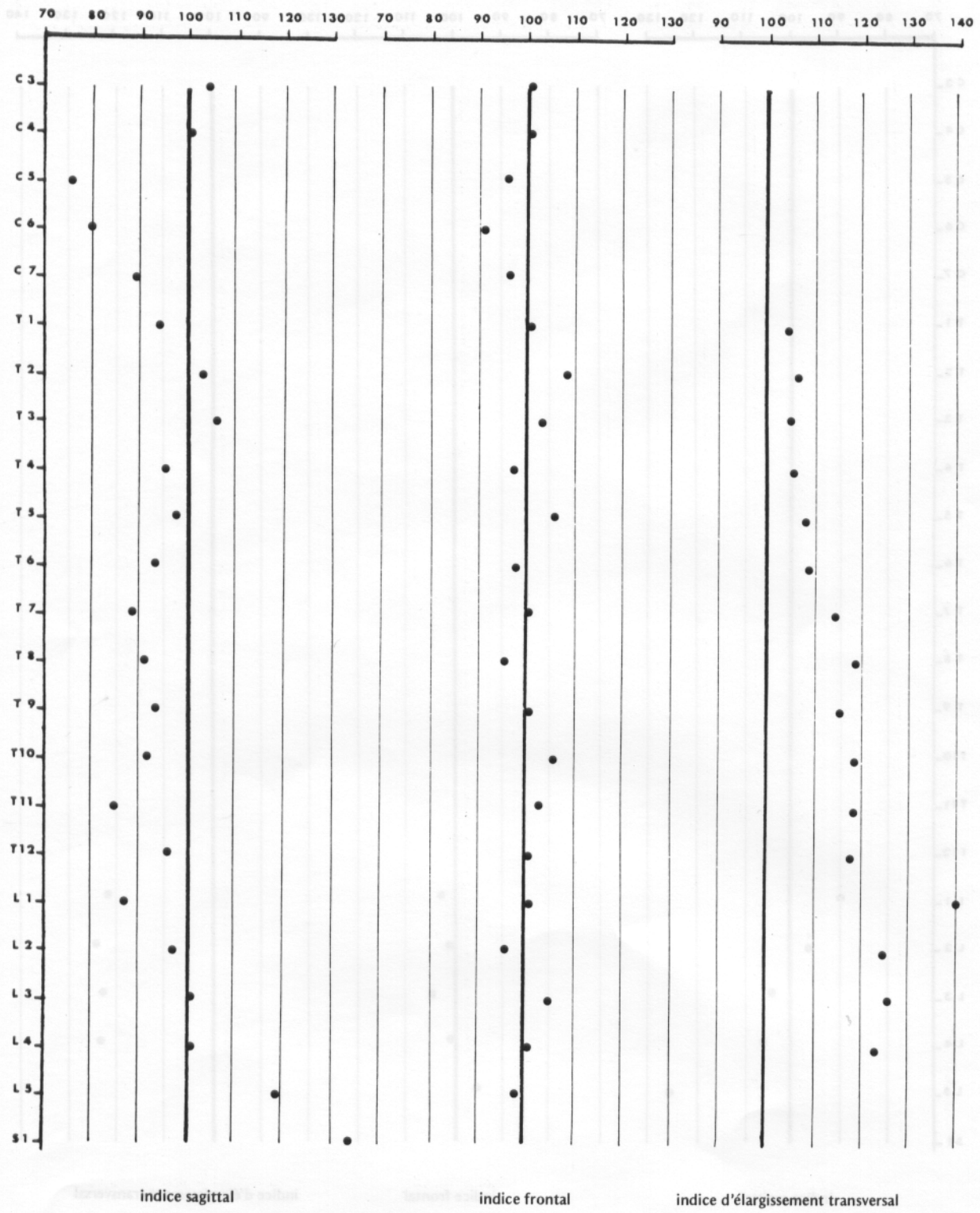
Pl. 75 — Graphe des indices du rachis, La Gayole BT35 bis



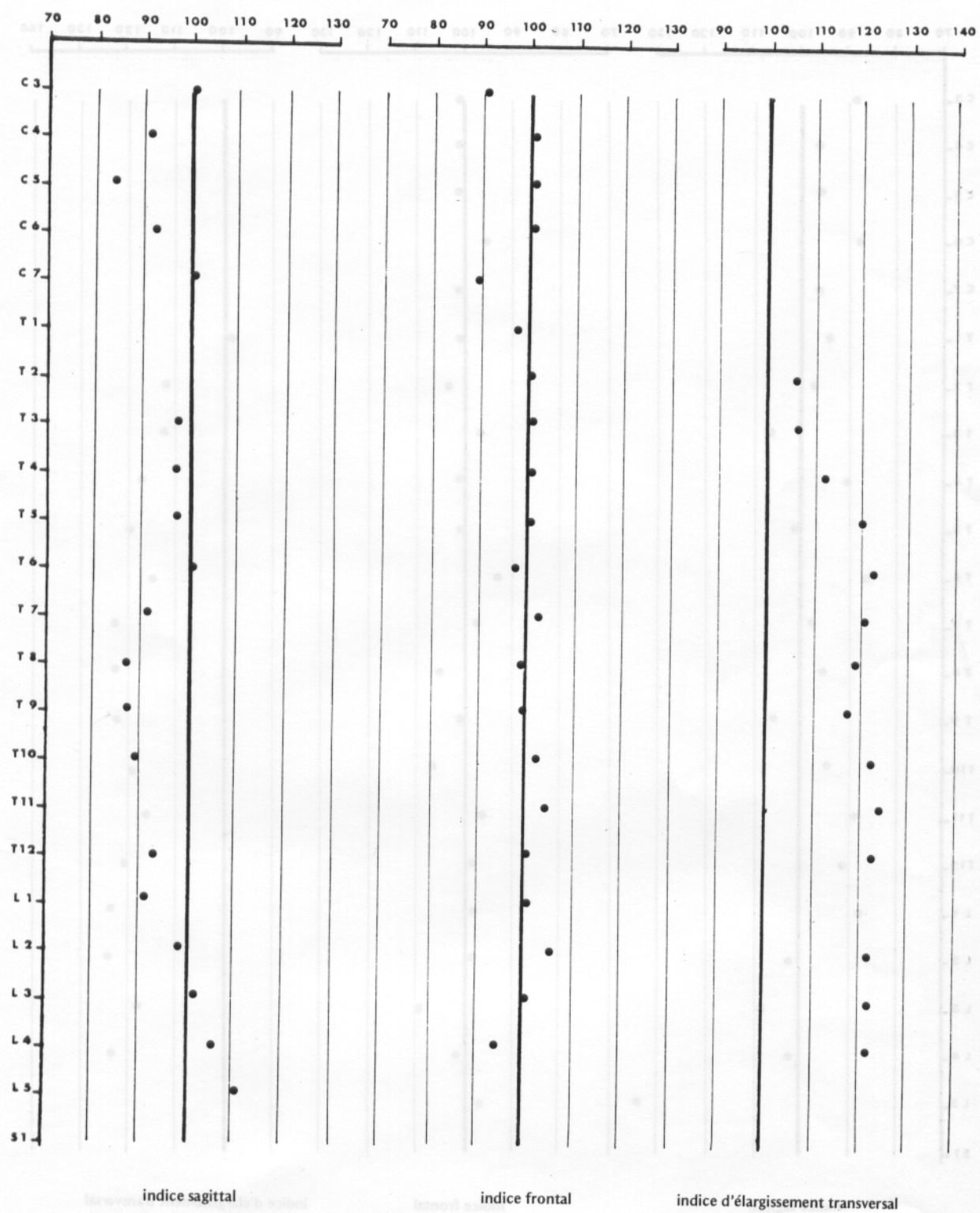
Pl. 76 — Graphe des indices du rachis, La Gayole BT37



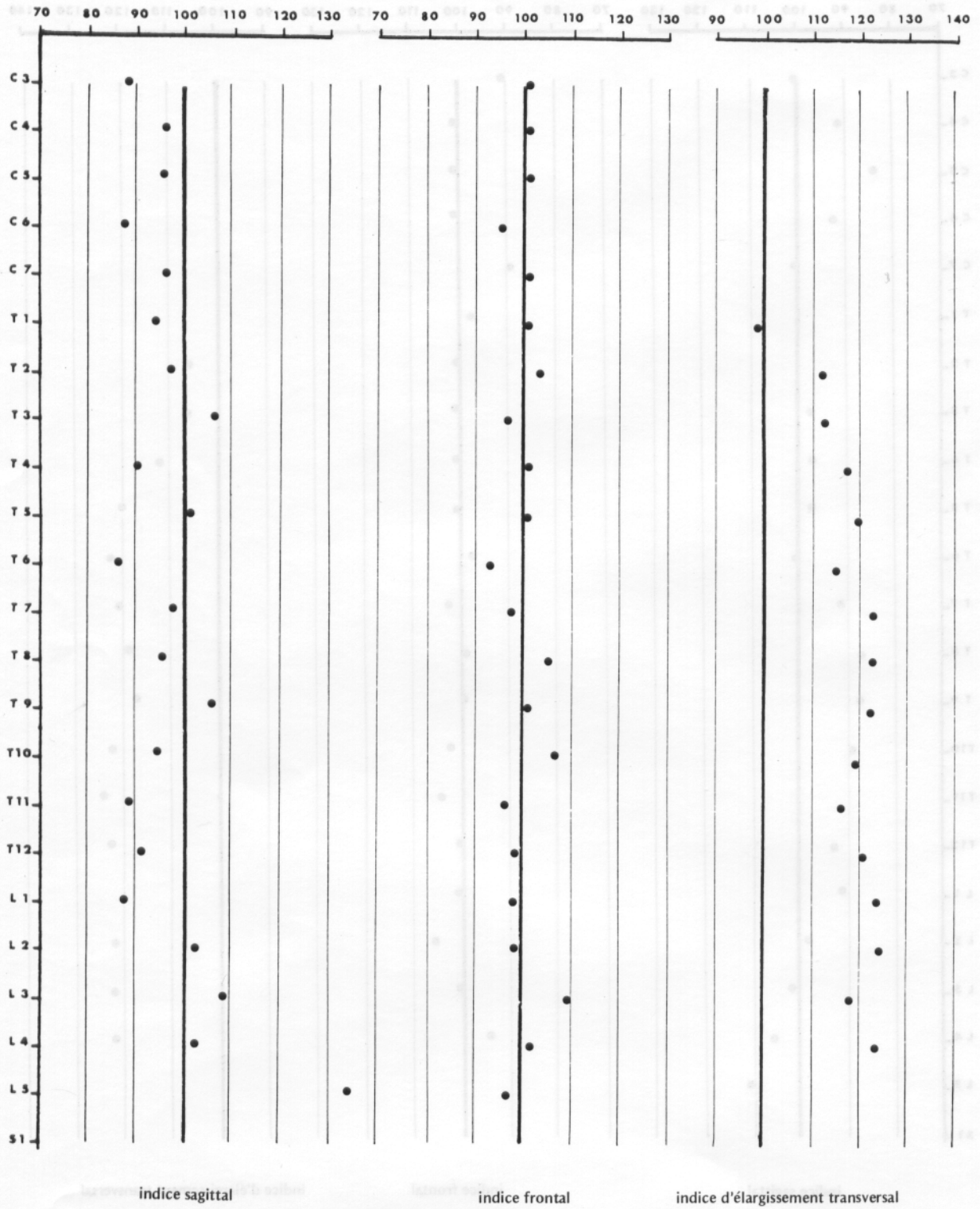
Pl. 77 — Graphe des indices du rachis, La Gayole BT37 bis



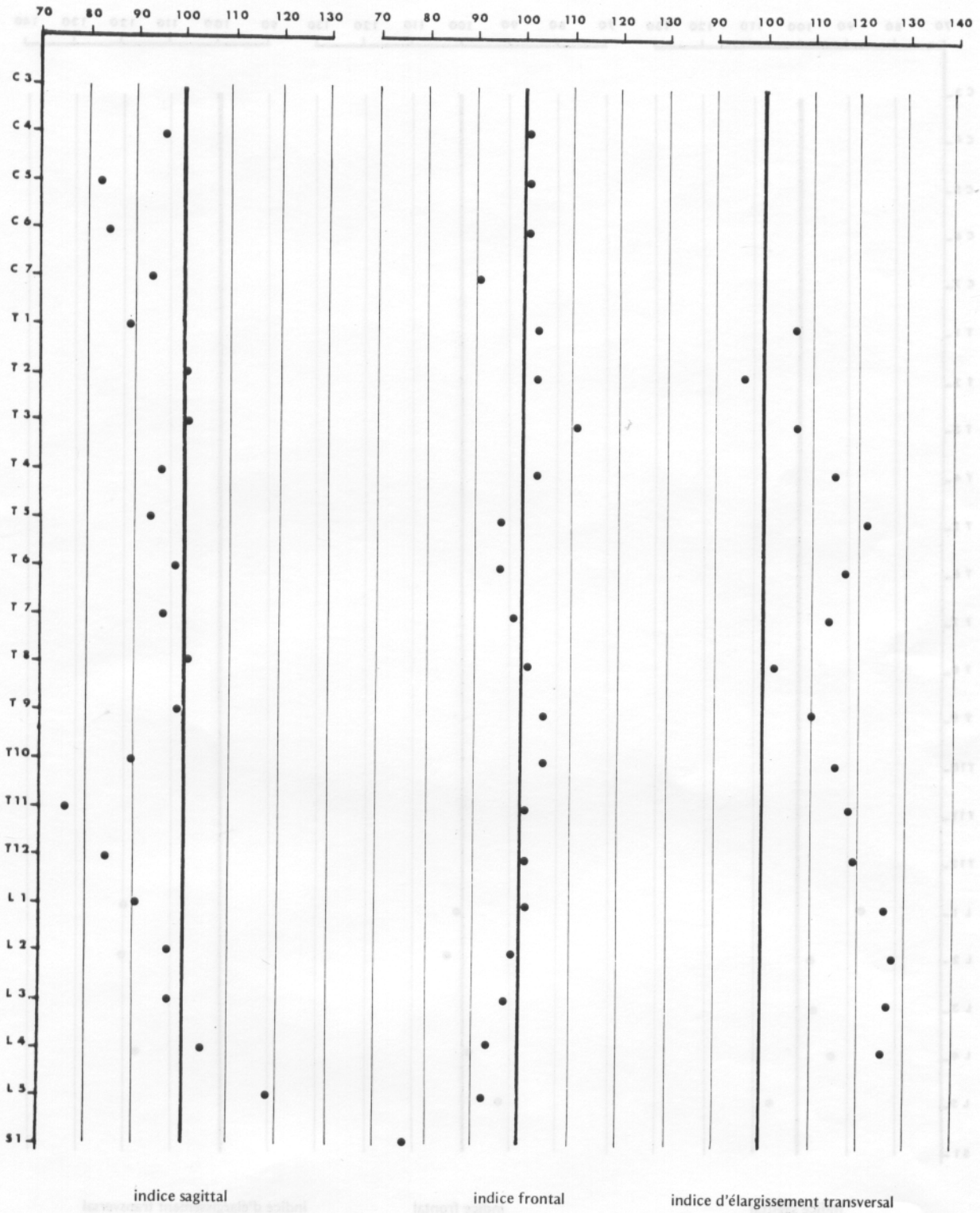
Pl. 78 — Graphe des indices du rachis, La Gayole BT38



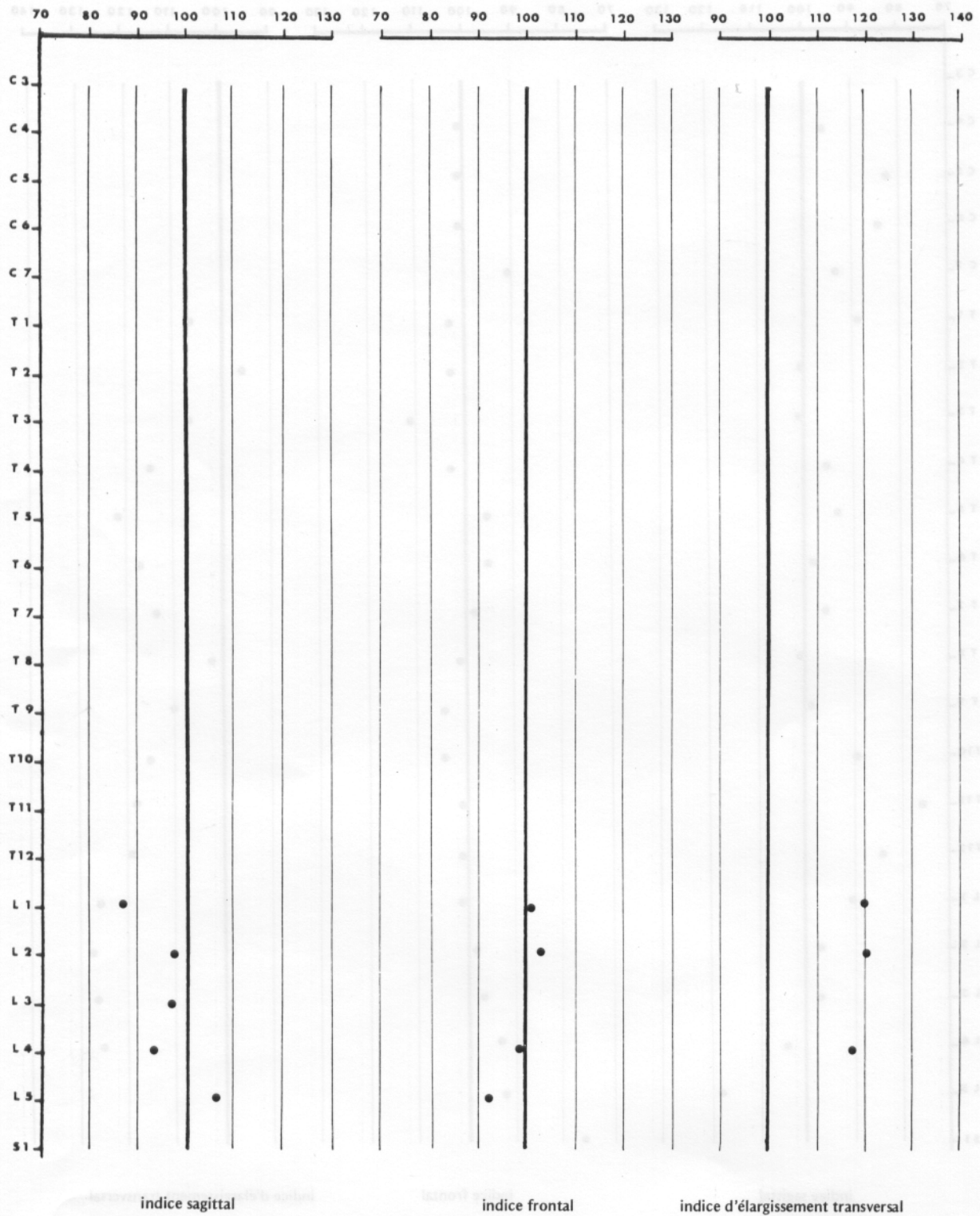
Pl. 79 — Graphe des indices du rachis, La Gayole BT39



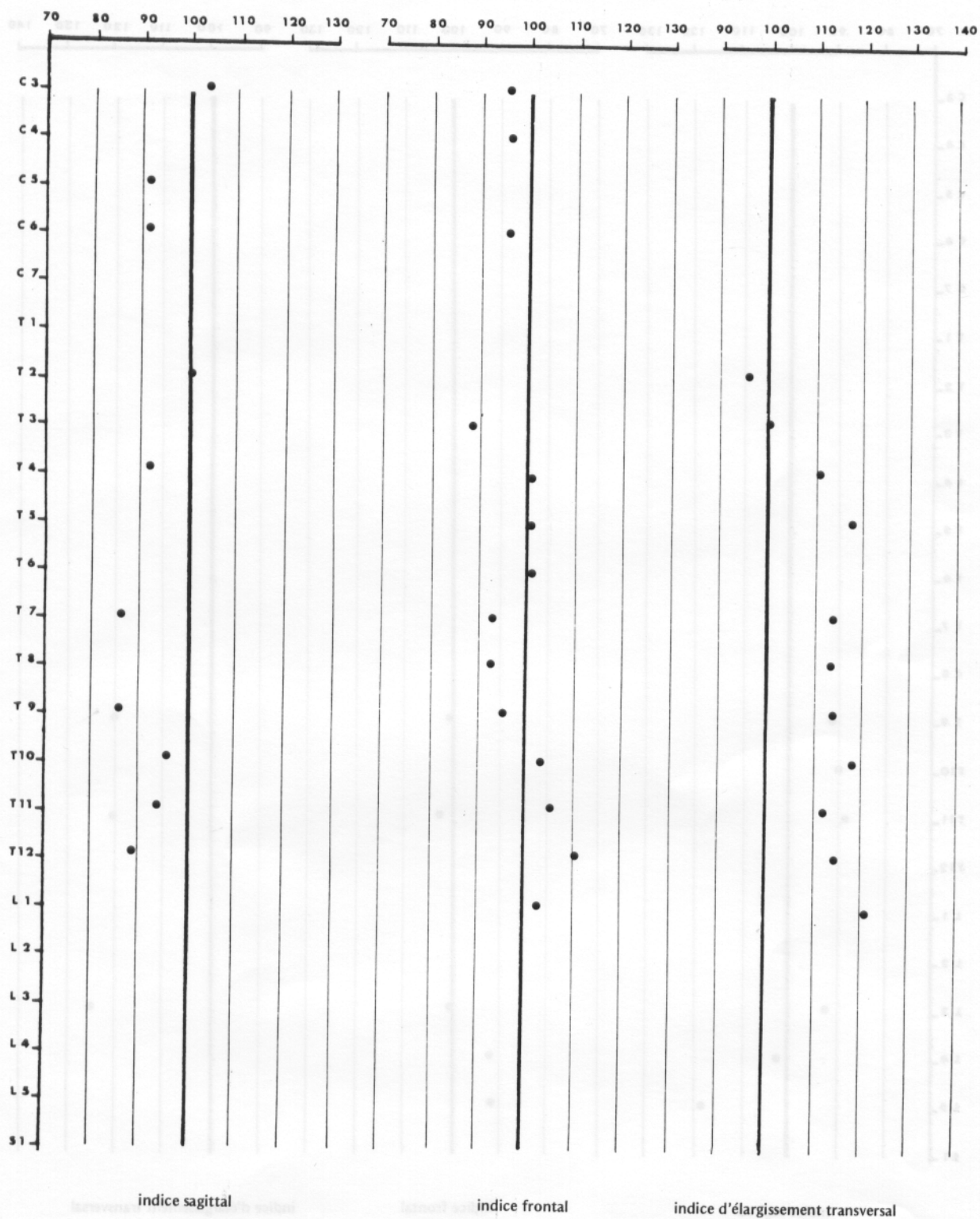
PI. 80 – Graphe des indices du rachis, La Gayole BT41



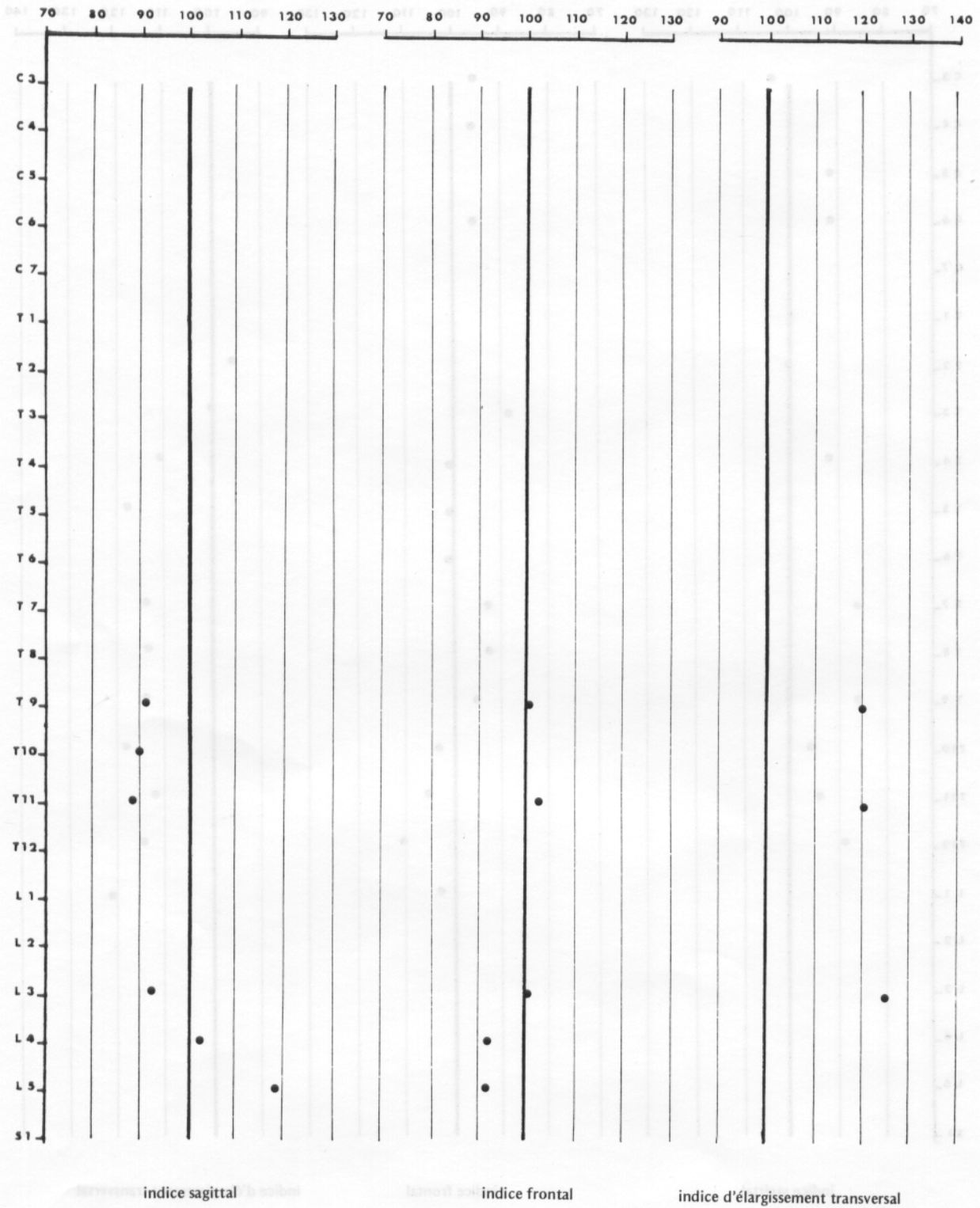
Pl. 81 — Graphe des indices du rachis, La Gayole BT43



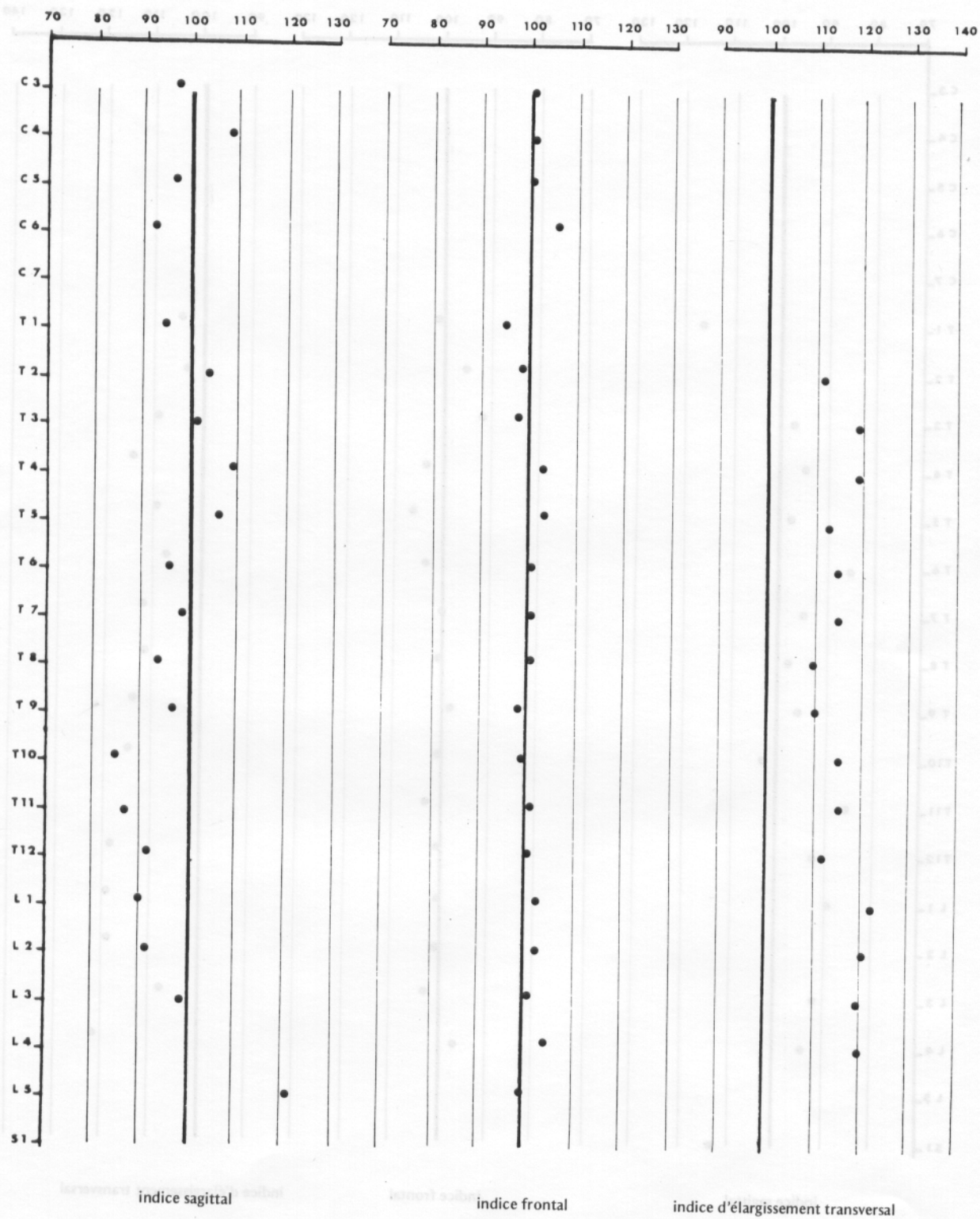
Pl. 82 — Graphe des indices du rachis, La Gayole BT45



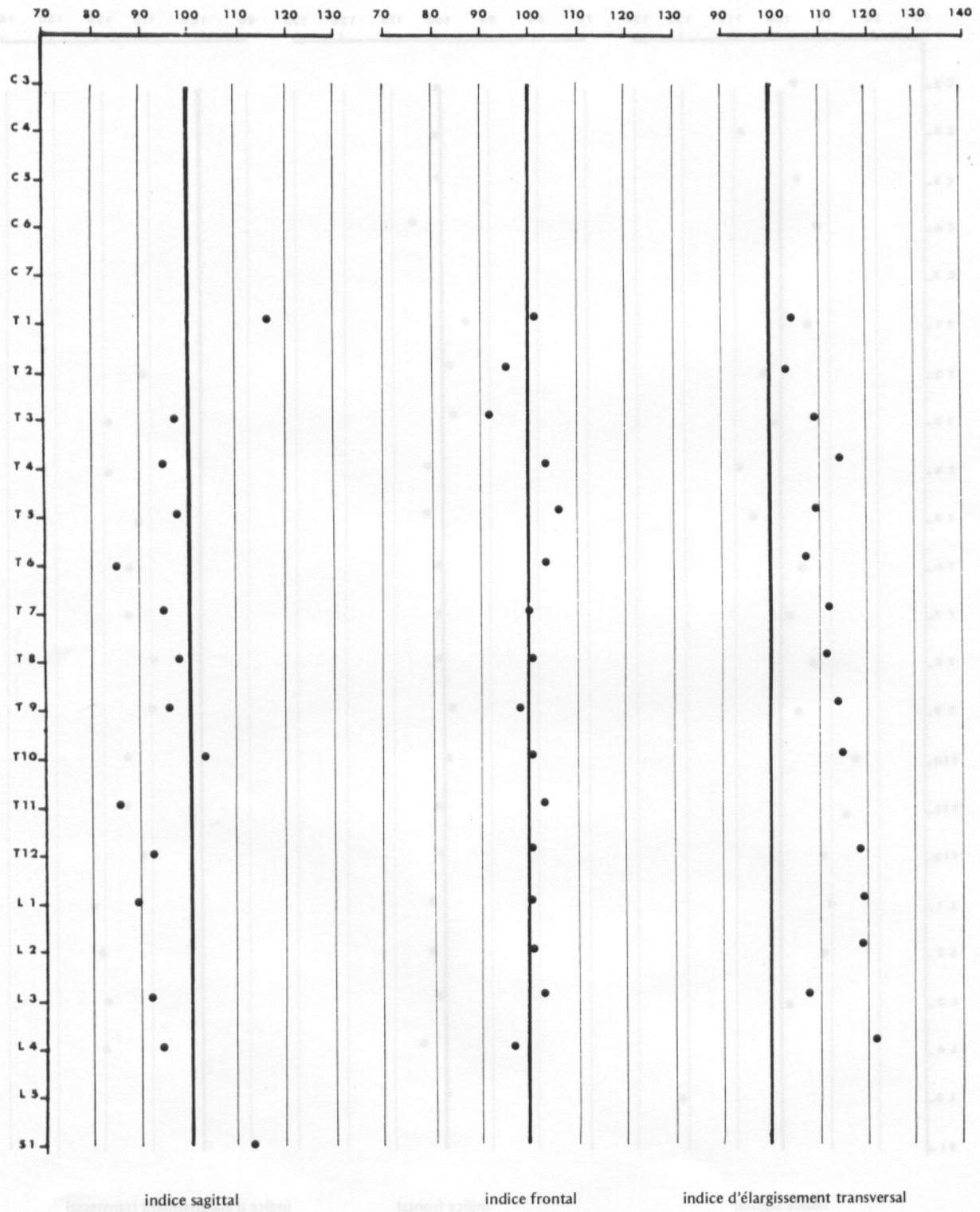
Pl. 83 — Graphe des indices du rachis, La Gayole BT47



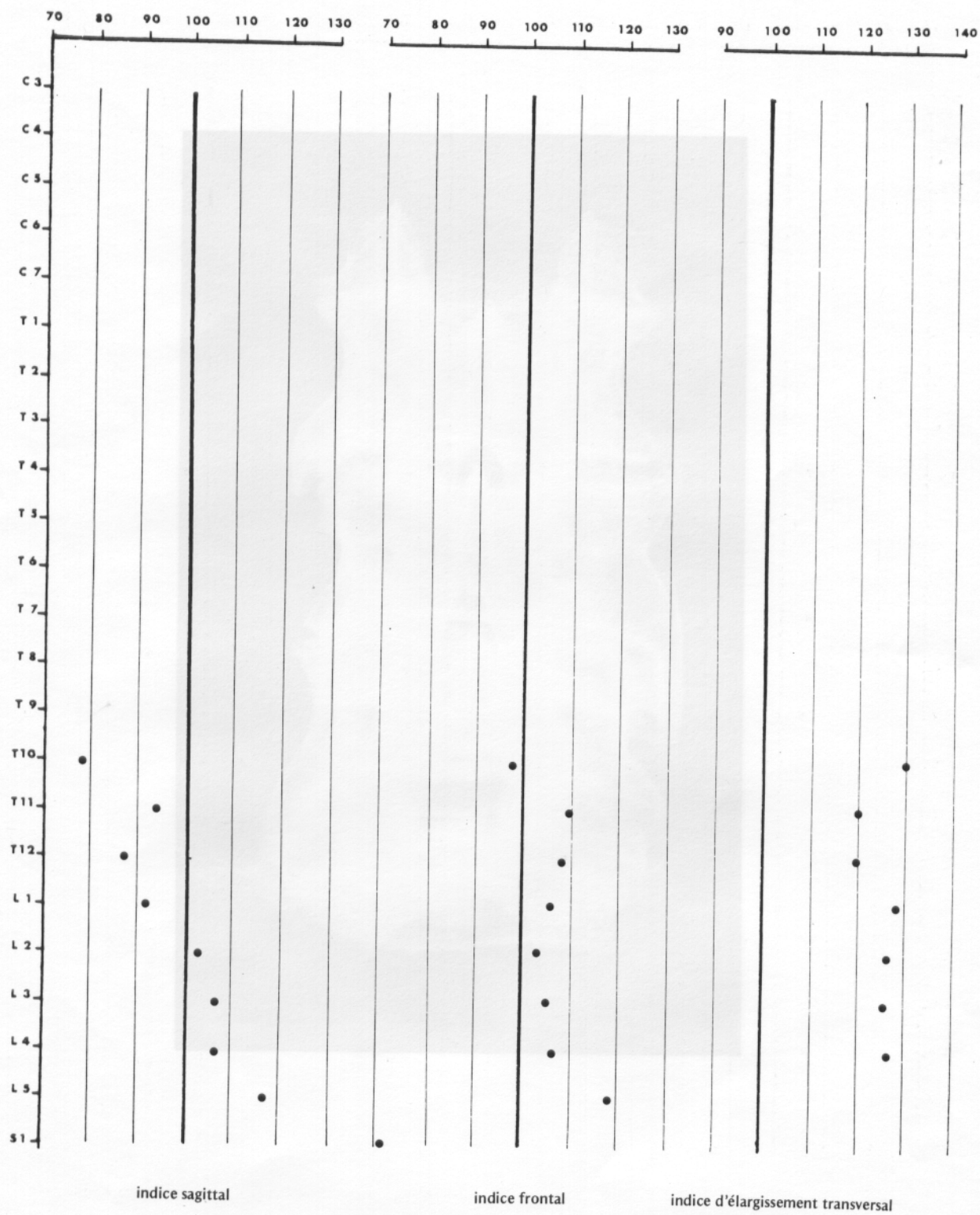
Pl. 84 — Graphe des indices du rachis, La Gayole BT48



Pl. 85 – Graphe des indices du rachis, La Gayole BT49

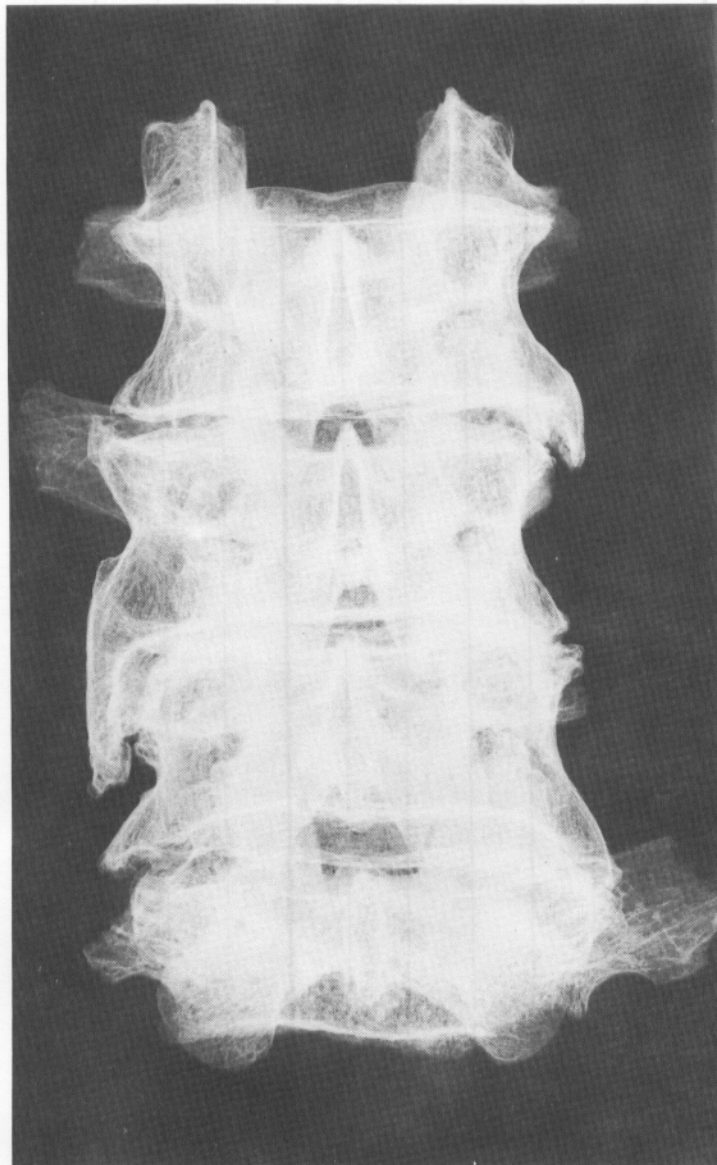


Pl. 86 – Graphe des indices du rachis, La Gayole BT50



Pl. 87 — Graphe des indices du rachis, La Gayole BT51

0 10 20 30 40 50 60 70 80 90 100 110 120 130 140 150



indice sagittal indice frontal indice d'alignement transversal

Pl. 88 — Ostéophytose exubérante du rachis lombaire de L2 à L5, aspect radiographique, cliché de face, La Gayole BT51



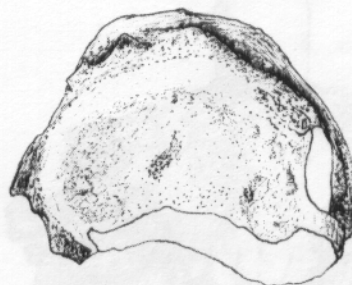
vue inférieure

**CALCIFICATION DU MATERIEL NUCLEAIRE
DANS UNE HERNIE INTRA-SPONGIEUSE**

La Gayole BT53 n°2



vue supérieure



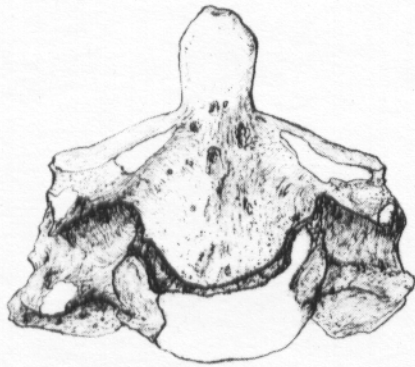
vue inférieure



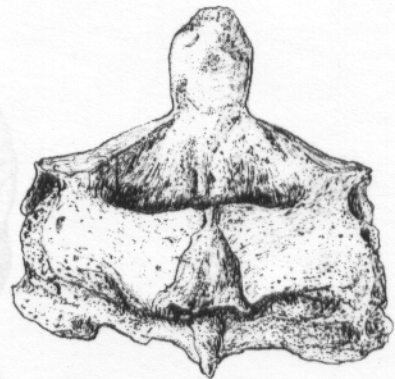
vue latérale

ECRASEMENT VERTEBRAL LOMBAIRE

S^t Victor S 75-37 n° 287



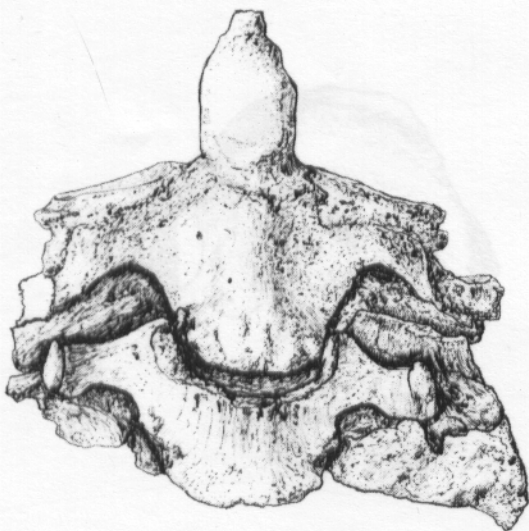
vue antérieure



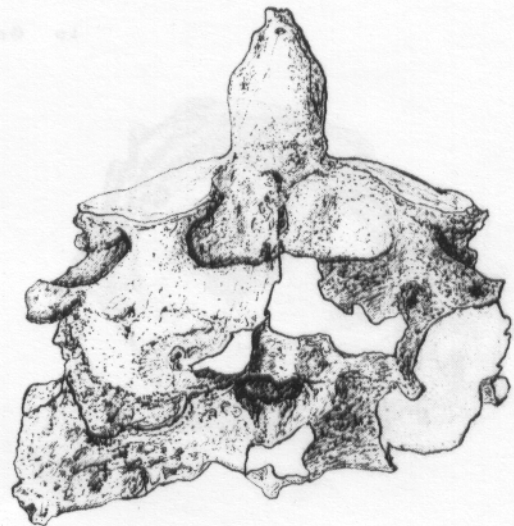
vue postérieure

BLOC CONGENITAL DES DEUXIEME ET TROISIEME VERTEBRES CERVICALES

S^t Victor 575-16 n° 1202



vue antérieure



vue postérieure

BLOC ARTHROSIQUE DES DEUXIEME ET TROISIEME VERTEBRES CERVICALES

S^t Victor 575-54 n° 23bis